

<http://maren.desy.de/hex/holm>

# **Experimentalphysik I/II für Studierende der Biochemie/Molekularbiologie, Biologie und Zahnpmedizin**

Transparente zur Vorlesung  
WS 2005/06, U. Holm

Elektrizität und Magnetismus  
Physikalische Größen und Einheiten      Optik  
Mechanik  
Wärmelehre  
Schwingungen und Wellen

# Wärmelehre

**Wärmesinn** macht Angabe, ob Körper heiß oder kalt. Diesen **thermischen Zustand** eines Körpers nennt man **Temperatur** (neue Basisgröße).

Temperatur wird zunächst über Materieeigenschaften definiert (z.B. Längenausdehnung eines Stabes mit wachsender Temperatur). Dazu ist folgender Satz wichtig:

Bringt man **zwei Körper verschiedener Temperatur in (guten) Kontakt**, so nehmen sie nach gewisser Zeit **dieselbe Temperatur** an. Der wärmere Körper kühlte sich dabei ab, der kältere erwärmt sich.

Definition der **Celsius-Skala** ("centigrade"):

**Zwei Fixpunkte**  $0^\circ\text{C}$ ,  $100^\circ\text{C}$  (**Schmelzpunkt** bzw. **Siedepunkt** von Wasser bei Normaldruck), **dazwischen willkürliche Unterteilung in 100 gleiche  $1^\circ\text{C}$ -Schritte**.

Einteilung hängt von Thermometermaterialien ab (z.B. Hg/Glas), da sich Materialien **nicht gleichmäßig ausdehnen**.

# Temperatursinn der Haut

Der Temperatursinn der Haut hat 2 Qualitäten, den **Kaltsinn** und den **Warmsinn**: Es gibt auf der Haut spezifische Kalt- und Warmpunkte, bei denen sich jeweils nur Kalt- oder Warmempfindungen auslösen lassen.

Handflächen: 1–5 Kaltpunkte/cm<sup>2</sup>; 0,4 Warmpunkte/cm<sup>2</sup>  
Gesicht: 16–19 Kaltpunkte/cm<sup>2</sup>; Warmpunkte lassen sich nicht mehr auflösen

## Adaption der Temperaturempfindung:

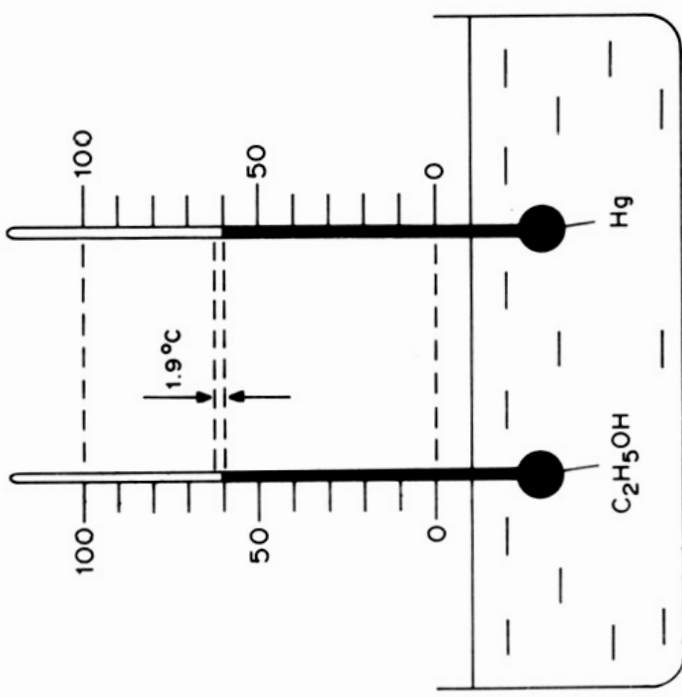
In einem mittleren Temperaturbereich (**Zone der Indifferenztemperatur, 31–36°C**) führen Erwärmung oder Abkühlung nur vorübergehend zu einer Warm- bzw. Kaltempfindung. Oberhalb und unterhalb hat man dauernde Warm- bzw. Kaltempfindung.

## Weber-Dreischalenversuch:

Je eine Schale mit kaltem, lauwarmen und warmen Wasser.  
Je eine Hand ins kalte bzw. warme Wasser. Dann beide Hände ins lauwarme Wasser:  
für die eine Hand fühlt es sich warm, für die andere kalt an.

Offenbar kann es zu einer Warm- oder Kaltempfindung kommen, je nachdem von welcher Ausgangstemperatur ausgegangen wurde.

# Thermometer



Temperaturmessung ist wegen nicht-linearer Ausdehnung abhängig vom Thermometer!

Abb. 6.1. Vergleich eines alkoholgefüllten Thermometer bei linearer Unterteilung. Die nichtlineare Volumenausdehnung führt dazu, daß die von diesen Thermometern gemessenen Temperaturen nur in den Fixpunkten übereinstimmen. Zwischen 0 °C und 100 °C ergeben sich maximale Unterschiede bis zu etwa 2 °C

# Fieberthermometer

Bei Abkühlung reißt Quecksilberfaden ab, maximale Temperaturanzeige bleibt erhalten.

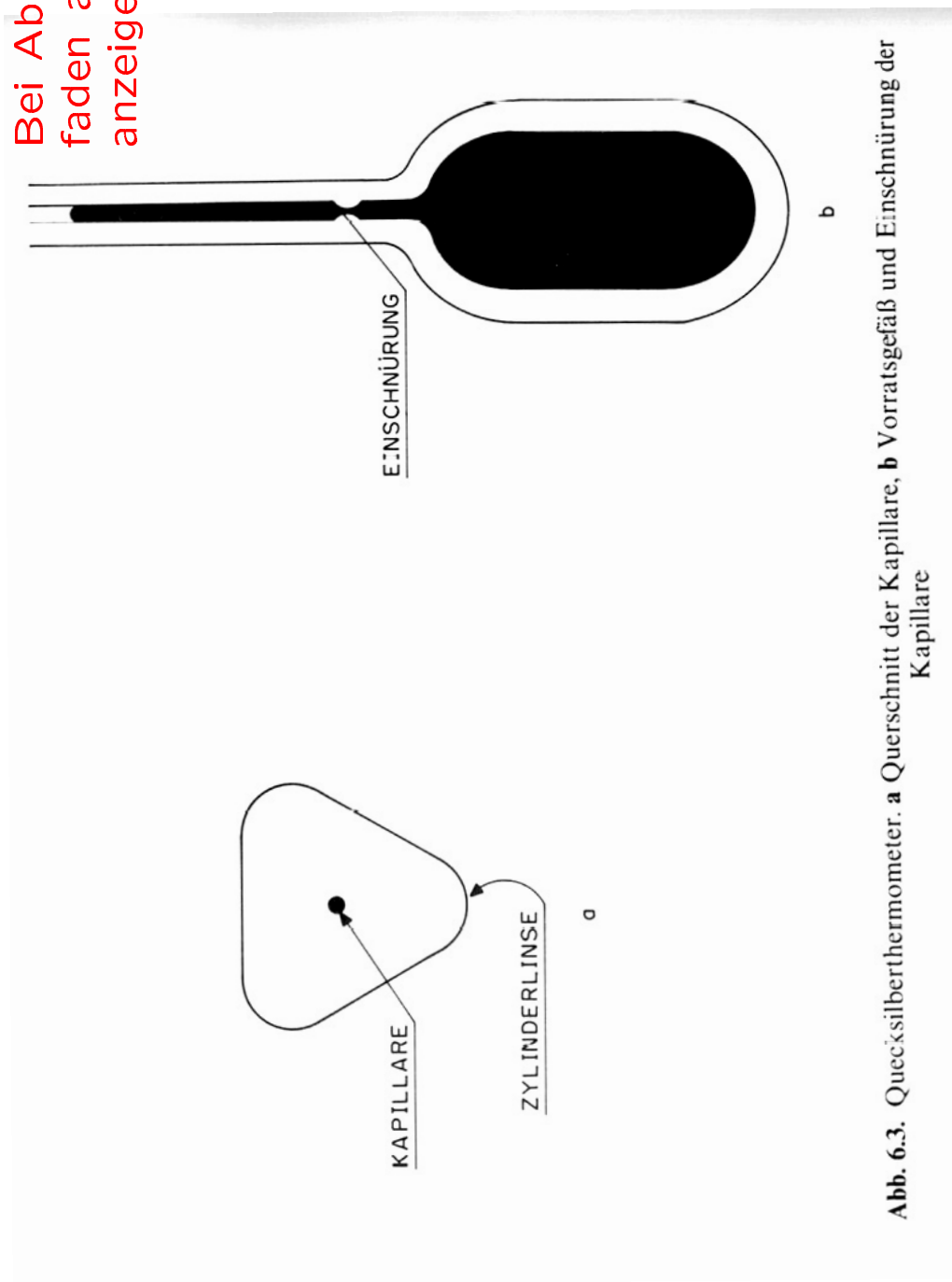


Abb. 6.3. Quecksilberthermometer. **a** Querschnitt der Kapillare, **b** Vorratsgefäß und Einschnürung der Kapillare

Die neue SI-Einheit **Kelvin** (K) wird über thermodynamischen Kreisprozess (Carnot) definiert:

**Tripelpunkt des Wassers** soll sein **273,16 K**. 1 K ist dann  $1/273,16$  der absoluten Temperatur des Tripelpunktes von Wasser.

**Thermische Eigenschaften** von Materie, die zum Bau eines Thermometers genutzt werden können:

a) **Lineare Ausdehnung**  $\Delta\ell$  eines Stabes der Länge  $\ell_0$  bei Temperaturerhöhung  $\Delta t$ :

$$\ell = \ell_0 + \Delta\ell = \ell_0(1 + \alpha\Delta t)$$

$\alpha$ : linearer Ausdehnungskoeffizient

$$\text{Fe } (20^\circ\text{C}): \alpha = 1,2 \cdot 10^{-5}/^\circ\text{C} = 1,2 \cdot 10^{-5}/K$$

b) **Volumenausdehnung**:

$$V = V_0(1 + \gamma t), \gamma \approx 3\alpha$$

- c) Der **elektrische Widerstand** nimmt bei Metallen mit der Temperatur zu.
- d) **Thermoelemente:** Elektrische Thermospannung, wenn zwei Lötstellen zwischen verschiedenen Metallen unterschiedliche Temperaturen haben.

## Gasgesetze

**Ideale Gase** erfüllen folgende vereinfachenden Annahmen:

- 1) Gase bestehen aus **punktförmigen Molekülen**.
- 2) Zwischen den Molekülen wirken **keine Kräfte**.
- 3) Alle Stöße sind **vollelastisch**.

Bei **Normalbedingungen** ( $t = 0^\circ \text{C}$  bzw.  $T = 273,15 \text{ K}$ ;  $p = 1 \text{ atm} = 1013 \text{ hPa}$ ) verhalten sich **Luft**, **H<sub>2</sub>**, **He** wie **ideale Gase**.

**Reale Gase** verhalten sich bei starken **"Verdünnungen"** **ideal**.

**Zustand eines Gases** lässt sich durch **drei Größen** beschreiben:  
Druck **p**, Volumen **V**, (absolute) Temperatur **T**.

## Beziehungen zwischen $p, V, T$ :

- **Boyle-Mariotte-Gesetz:**  $p \cdot V = \text{const}$ , ( $T = \text{const}$ , Isotherme)
- **Gay-Lussac-Gesetz A:**  $V_t = V_0(1 + \gamma t)$ , ( $p = \text{const}$ , Isobare)

Volumenausdehnungskoeffizient  $\gamma = 1/273,15^\circ\text{C}$  für alle idealen Gase!

$V_t$	:	Volumen bei $t^\circ\text{C}$ ,
$t$	:	Temperatur in $^\circ\text{C}$ ,
$V_0$	:	Volumen bei $0^\circ\text{C}$ .

**Andere Formulierung:**

$V_T$	:	Volumen bei $T\text{K}$ ,
$T$	:	absolute Temperatur in $K$ ,
$V_0$	:	Volumen bei $0^\circ\text{C}$ ,
$T_0$	:	$273,15\text{ K}$

$$\frac{V_T}{T} = \frac{V_0}{T_0}$$

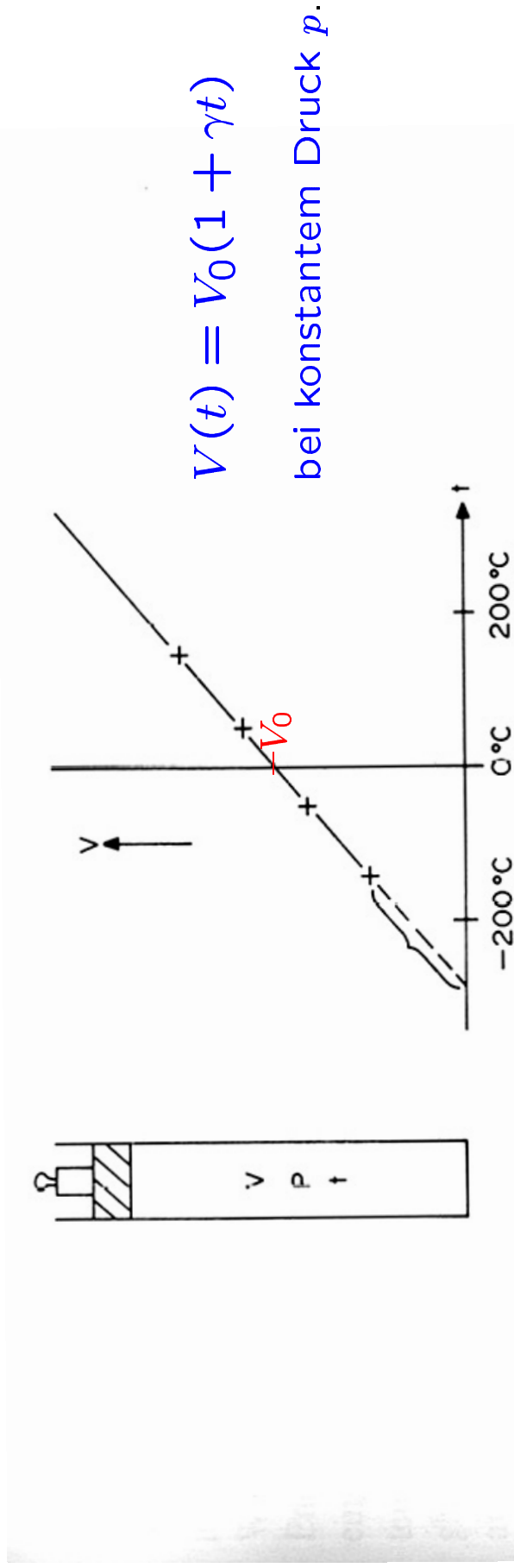
- **Gay-Lussac-Gesetz B:**  $p_t = p_0(1 + \gamma t)$ , ( $V = \text{const}$ , Isochore)

Auch hier  $\gamma = 1/273,15^\circ\text{C}$  !

**Andere Formulierung:**

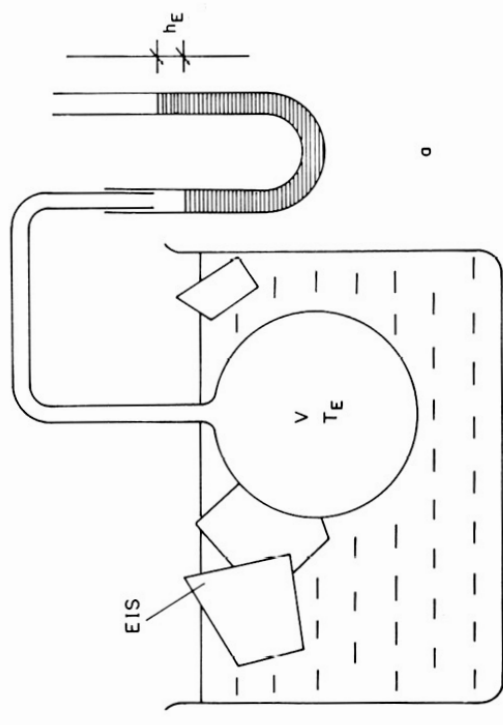
$p_T$	:	Druck bei $T\text{K}$ ,
$p_0$	:	Druck bei $0^\circ\text{C}$ ,

## Gay-Lussac



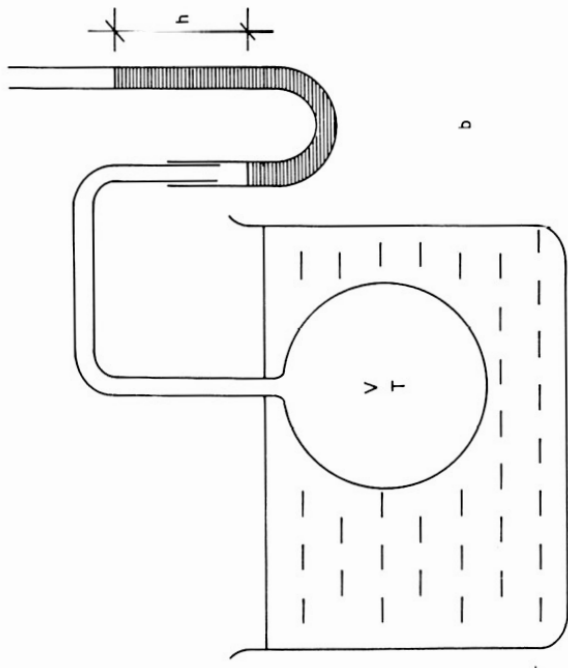
**Abb. 6.2.** Gay-Lussacsches Gesetz: Volumen eines idealen Gases bei konstantem Druck in Abhängigkeit von der Temperatur (hier CelsiusTemperatur  $t$ ). Der dargestellte lineare Zusammenhang zwischen Temperatur und Volumen findet sich bis ganz nahe an den Kondensationspunkt der verschiedenen Gase.  
Gestrichelter Graph = Extrapolation

## Gasthermometer



$$T/T_E = p/p_E$$

bei konstantem Volumen.



**Abb. 6.10.** Temperaturmessung mit dem Gasthermometer. Der Druck im Gasbehälter wird einmal für  $T_E$  (a) und dann für  $T$  (b) mittels eines U-Rohr-Manometers gemessen. Der dem Meßvolumen zugewandte Flüssigkeitsspiegel im U-Rohr wird immer an derselben Stelle gehalten, so daß das Volumen im Gasthermometer konstant bleibt

## Zustandsgleichung idealer Gase aus der Verknüpfung obiger Gesetze:

$$p \cdot V = n \cdot R \cdot T$$

$n$ : Anzahl der Mole,

$T$ : absolute Temperatur;

$R = 8,31 \text{ J mol}^{-1}\text{K}^{-1}$  ist **allgemeine Gaskonstante**.

Ein Mol ( $n = 1$ ) eines Gases nimmt unter Normalbedingungen ( $p_0 = 1 \text{ atm} = 1013 \text{ hPa}; T_0 = 273,15 \text{ K}$ ) das sog. Molvolumen  $V_0 = 22,4 \text{ dm}^3$  ein.

## Zustandsgleichung realer Gase:

Gegenüber der idealen Gasgleichung muss das "Eigenvolume" der Moleküle und sog. "Binnendruck" berücksichtigt werden.  
Für  $n = 1$  gilt

$$\left( p + \frac{a}{V_m^2} \right) (V_m - b) = R \cdot T$$

## Kinetische Gastheorie

In jedem Stoff sind Atome bzw. Moleküle in (Temperatur-) Bewegung.

**Feste Körper:** Teilchen **schwingen um Gleichgewichtslage.**

**Flüssigkeiten:** Teilchen bewegen sich auf **regellosen Zickzackbahnen** (Brownsche Molekularbewegung).

**Gase:** **geradlinige** Bewegung **bis zum nächsten (elastischen) Stoß**. Bei Gasen stellt sich eine Maxwell'sche Geschwindigkeitsverteilung ein.

**Senkrechter elastischer Stoß** eines Teilchens mit Impuls  $\vec{p}$  auf Wand:  
**Impuls 2**  $\vec{p}$  **wird auf Wand übertragen** (denn Teilchen hat hinterher Impuls  $-\vec{p}$  und es gilt Impulserhaltung).

Impuls 2  $p$  auf Wand bewirkt für eine **kurze Zeit**  $\Delta t$  eine **Kraft**  $F$ , denn es gilt Newton II:

$$F = m \cdot a = \frac{\Delta p}{\Delta t} \Rightarrow \Delta p = 2p = F \cdot \Delta t$$

Während dieser Zeit wirkt Druck auf Wand:  
**Druck**  $\varphi = \text{Kraft } F / \text{Fläche } A$

# Geschwindigkeitsverteilung von Gasmolekülen

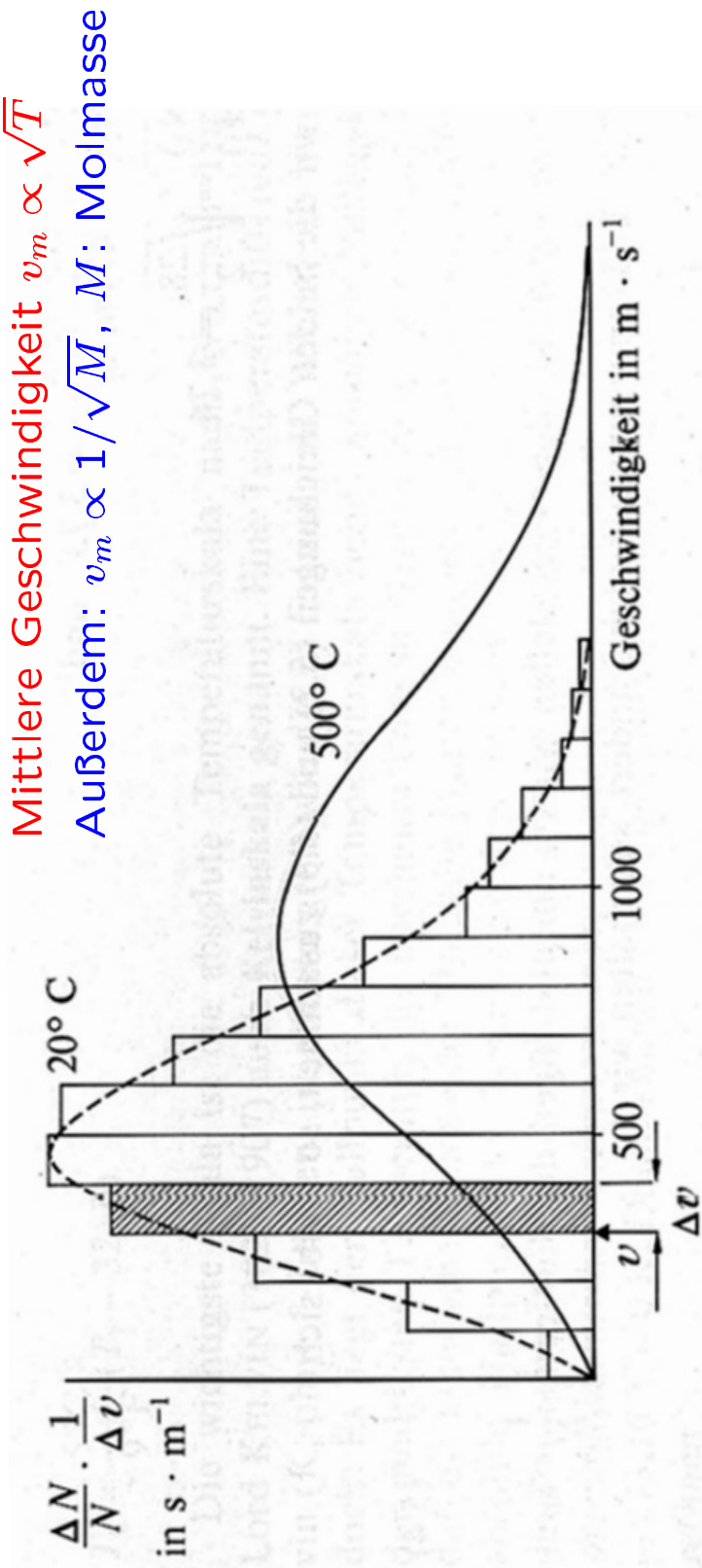


Abb. 5.2. Geschwindigkeitsverteilung für verschiedene Temperaturen.

Mittlere Geschwindigkeiten  $v_m$  bei 293 K:  
Stickstoff: 471 m/s, Wasserstoff: 1755 m/s

Mit diesem Modell kann man ausrechnen, dass für 1 mol ideales Gas gilt:

$$\varrho \cdot V_{\text{mol}} = \frac{2}{3} N_A \cdot \overline{E}_{\text{molek\ü,kin}}$$

$N_A$  = Avogadro-Zahl ( $= 6 \cdot 10^{23} / \text{mol}$ ),

$\overline{E}_{\text{molek\ü,kin}}$  = mittl. kinet. Energie eines Moleküls.

Mit "idealer Gasgleichung" ( $n=1$ )

$$\varrho \cdot V_{\text{mol}} = R \cdot T$$

$\Rightarrow$

$$E_{\text{mol,kin}} = N_A \cdot \overline{E}_{\text{molek\ü,kin}} = \frac{3}{2} R \cdot T$$

$E_{\text{mol,kin}}$  ist die kinetische Energie, die in 1 mol des Gases enthalten ist. Die **mittlere kinetische Energie eines Moleküls** ist also

$$\overline{E}_{\text{molek\ü,kin}} = \frac{3}{2} \frac{R}{N_A} T = \frac{3}{2} k \cdot T$$

Boltzmann-Konstante:  $k = 1,38 \cdot 10^{-23} \text{ J/K}$

In diesem Modell ist bisher nur **Translation** der Moleküle berücksichtigt.

**Translation:** **3 Freiheitsgrade** (FG) der Bewegung (3 Richtungen). Die kinetische Energie verteilt sich auf diese FG:

$$\frac{E_{\text{kin,mol}}}{FG} = \frac{1}{2} RT$$

**Äquipartitionsgesetz:** Im statistischen Gleichgewicht ist Energie pro Freiheitsgrad im Mittel  $\frac{1}{2}R \cdot T$  pro Mol (bzw.  $\frac{1}{2}kT$  pro Molekül).

**2-atomige Moleküle:** zusätzlich 2 FG der Rotation, insgesamt also 5 FG. Dann ist

$$E_{\text{kin,mol}} = 5 \cdot \frac{1}{2} RT = \frac{5}{2} RT$$

**3-atomige Moleküle** (6 FG):

$$E_{\text{kin,mol}} = 6 \cdot \frac{1}{2} RT = \frac{6}{2} RT$$

**Die Temperatur  $T$  eines (idealen) Gases ist also direkt verknüpft mit der kinetischen Energie seiner Moleküle.**

# Wärmemenge

Körper erwärmen (auf höhere Temperatur  $T$  bringen)  $\Rightarrow$  Energie muss zugeführt werden (Wärmemenge).

Zwei Körper mit verschiedenen Temperaturen in Kontakt  $\Rightarrow$  Temperatursausgleich.  
Es fließt Wärmemenge  $Q$  vom wärmeren zum kälteren Körper:

$$Q = c \cdot m \cdot \Delta t$$

$c$  : spezifische Wärme (materialabhängig),

$m$  : Masse,

$\Delta t$  : Temperaturunterschied.

Einheit von  $Q$ : 1 Joule = 1 Nm. Alte (nicht-SI) Einheit Kalorie:

$$1\text{cal} = 4,1868 \text{ J}$$

1 cal ist die Wärmemenge, die notwendig ist, um 1 g Wasser von 14,5°C auf 15,5°C zu erwärmen.

## Spezifische Wärmen

Man unterscheidet (insbesondere bei Gasen):

$c_p$ : spez. Wärme bei **konstantem Druck**

$c_V$ : spez. Wärme bei **konstantem Volumen**

Es ist immer  $c_p > c_V$ . Die zugeführte Energie pro  $^{\circ}\text{C}$  Temperaturerhöhung bei **konstantem Druck** und sich vergrößerndem Volumen muss **größer** sein (als bei konstantem Volumen), weil **gleichzeitig noch Arbeit** gegen den äußeren Druck geleistet werden muss.

**Wärmekapazität**  $C$  eines Körpers ist die Wärmemenge, die notwendig ist, ihn um  $1^{\circ}\text{C}$  zu erwärmen:  $C = c \cdot m$ .

**Molare Wärmekapazität**  $C_{\text{mol}}$  ist die Wärmemenge, die notwendig ist, 1 mol um  $1^{\circ}\text{C}$  zu erwärmen:  $C_{\text{mol}} = c \cdot M$ .

## Mischungskalorimeter:

Heißer Bleiklotz ( $m_{\text{Pb}}, t_{\text{Pb}}, c_{\text{Pb}}$ ) in Wasser ( $m_{\text{H}_2\text{O}}, t_{\text{H}_2\text{O}}, c_{\text{H}_2\text{O}}$ ) von Raumtemperatur  $t_{\text{H}_2\text{O}}$ : das Wasser wird erwärmt, der Bleiklotz abgekühlt. Das Kalorimeter sei ideal wärmédämmend. Nach gewisser Zeit **Mischungstemperatur**  $t$ . Vom Blei abgegebene Wärmemenge:

$$Q_{\text{Pb}} = c_{\text{Pb}} \cdot m_{\text{Pb}}(t_{\text{Pb}} - t)$$

Vom Wasser aufgenommene Wärmemenge:

$$Q_{\text{H}_2\text{O}} = c_{\text{H}_2\text{O}} \cdot m_{\text{H}_2\text{O}}(t - t_{\text{H}_2\text{O}})$$

Nach Energieerhaltungssatz müssen beide Wärmemengen gleich sein:

$$c_{\text{Pb}} \cdot m_{\text{Pb}}(t_{\text{Pb}} - t) = c_{\text{H}_2\text{O}} \cdot m_{\text{H}_2\text{O}}(t - t_{\text{H}_2\text{O}})$$

⇒ **Spezifische Wärme**  $c_{\text{Pb}}$  von Blei.

Noch zu berücksichtigen ist, dass das Kalorimeter (der Behälter) selbst auch eine gewisse Wärmemenge aufnimmt.

# Hauptsätze der Wärmelehre

Der **1. Hauptsatz** ist eine Erweiterung des **Erhaltungssatzes** der mechanischen Energie: **Wärme und Arbeit sind äquivalent.**

## Allgemeinere Formulierung des 1. Hauptsatz:

**Verschwindet Energiemenge** irgendeiner Art bei einem Vorgang, **so entsteht** eine an  
Größe gleiche Energiemenge einer **anderen Energieart.**

Oder: Ein **Perpetuum mobile** (1. Art) ist nicht möglich.

Spielen **nur** Energieformen **Arbeit und Wärmemenge** eine Rolle  $\Rightarrow$

$$\Delta U = \Delta Q + \Delta W$$

$\Delta U$ : Zunahme der **inneren Energie**, z.B. der  
kinetischen Energie der Gasmoleküle

$\Delta Q$ : zugeführte Wärmemenge,

$\Delta W$ : zugeführte Arbeit.

Zugeführte **Arbeit** bei einer **Kompression** ist z.B.  $\Delta W = -p \cdot \Delta V$

# 1. Hauptsatz der Wärmelehre

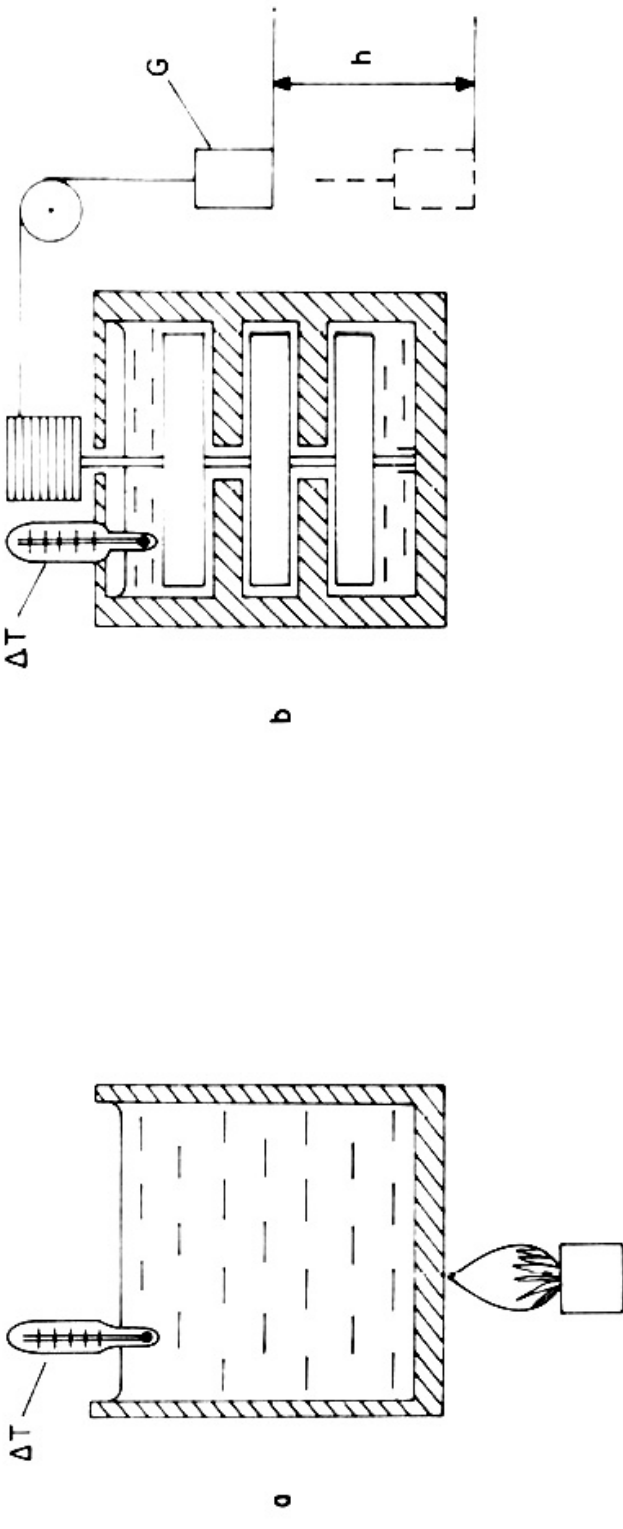


Abb. 7.1. Zwei Möglichkeiten zur Erwärmung von Wasser: **a** durch Wärmezufuhr und **b** durch Zufuhr von mechanischer Energie. **b** ist das Prinzip des Jculeschen Apparats zur Bestimmung des mechanischen Wärmäquivalents. Die vom Gewicht  $G$  mit der Masse  $m$  verrichtete mechanische Arbeit  $m \cdot g \cdot h$  führt zu einer Temperaturerhöhung im Wasser um  $\Delta T$ .

**Aggregatzustände:** "fest", "flüssig", "gasförmig".

Zur Umwandlung zwischen den verschiedenen Aggregatzuständen muss Wärme (**Umwandlungswärme**) zugeführt (bzw. abgeführt) werden.

### Verdampfungswärme von Wasser

Bei 100°C und Normaldruck: 2255 J/g, d.h. um Wasser von 100°C in Wasserdampf von 100°C überzuführen, sind 2255 J/g nötig.

### Dampfdruck:

Flüssigkeit in abgeschlossenen Gefäß:

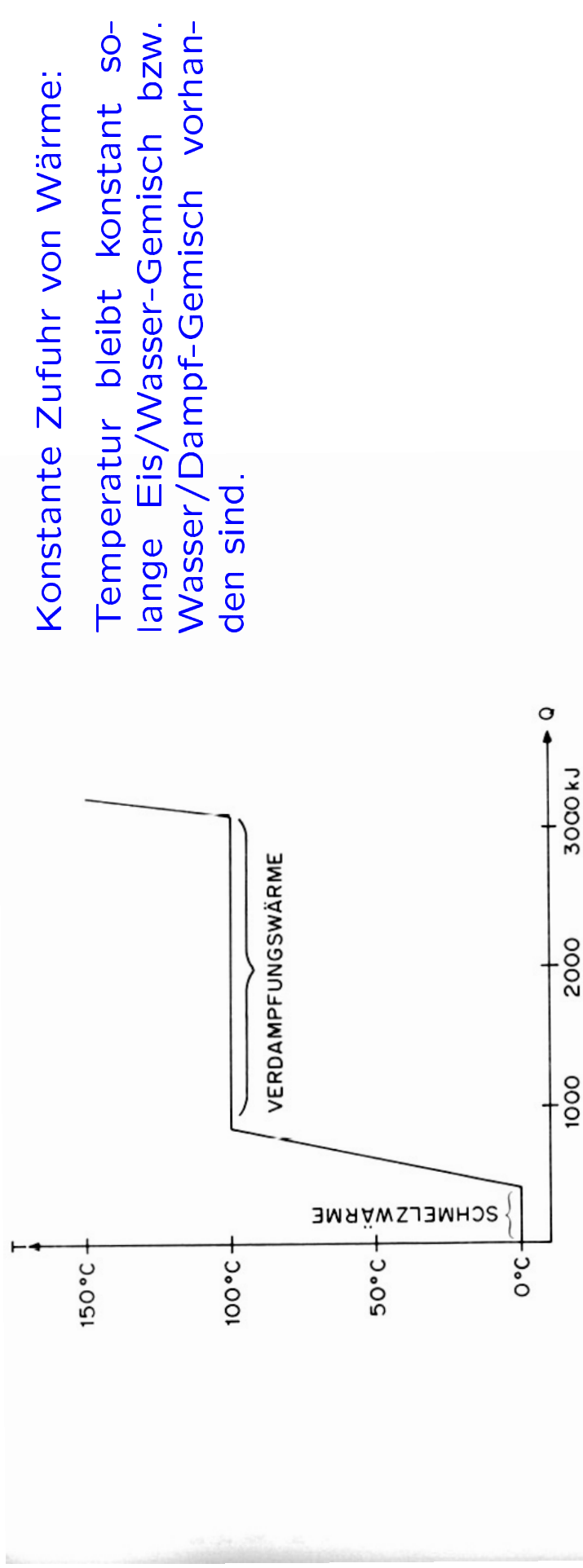
Einige Moleküle haben so **hohe Geschwindigkeit**, dass sie **aus Oberfläche austreten** können; einige treten auch wieder ein ⇒ Im Gleichgewicht **Sättigungsdampfdruck**, der **nur von der Temperatur**, nicht aber vom Volumen **abhängig** ist.

In Atmosphäre stellt sich nicht Sättigungsdampfdruck, sondern nur prozentualer Anteil (**relative Feuchtigkeit**) ein: Atmosphäre ist **kein "geschlossenes Gefäß"**. Austrittende Moleküle verdunsten, Flüssigkeit kühlte sich ab.

Flüssigkeit **siedet**, wenn **Dampfdruck gleich äußerem Druck** ist. Die Siedetemperatur (z.B. von Wasser) ist in großen Höhen wegen des kleineren atmosphärischen Druckes niedriger als an Erdoberfläche.

**Dampfkochtopf:** **Sieden unter erhöhtem Druck**; Siedetemperatur liegt dann über 100°C, Speisen werden schneller gar.

# Umwandlung von Aggregatzuständen



**Abb. 8.5.** Temperaturverlauf bei der Erwärmung von 1 kg Eis.  $Q$  ist die zugeführte Wärmemenge. Bei konstant zugeführtem Wärmestrom  $dQ/dt$  kann man die Abszisse auch als Zeitachse ansehen. In den Haltepunkten bei  $0^{\circ}\text{C}$  und  $100^{\circ}\text{C}$  kommt es zu einem vorübergehenden Halt beim Temperaturanstieg

## $(p, T)$ -Diagramm:

**Sublimationskurve**, **Schmelzkurve**, **Verdampfungskurve**  
trennen festen, flüssigen, dampfförmigen  
Aggregatzustand voneinander.

Im **Tripelpunkt** sind alle Phasen im Gleichgewicht.

Oberhalb des **kritischen Punkts** gibt es keine Unterscheidung mehr zwischen flüssigem und dampfförmigen Zustand.

## Transportphänomene

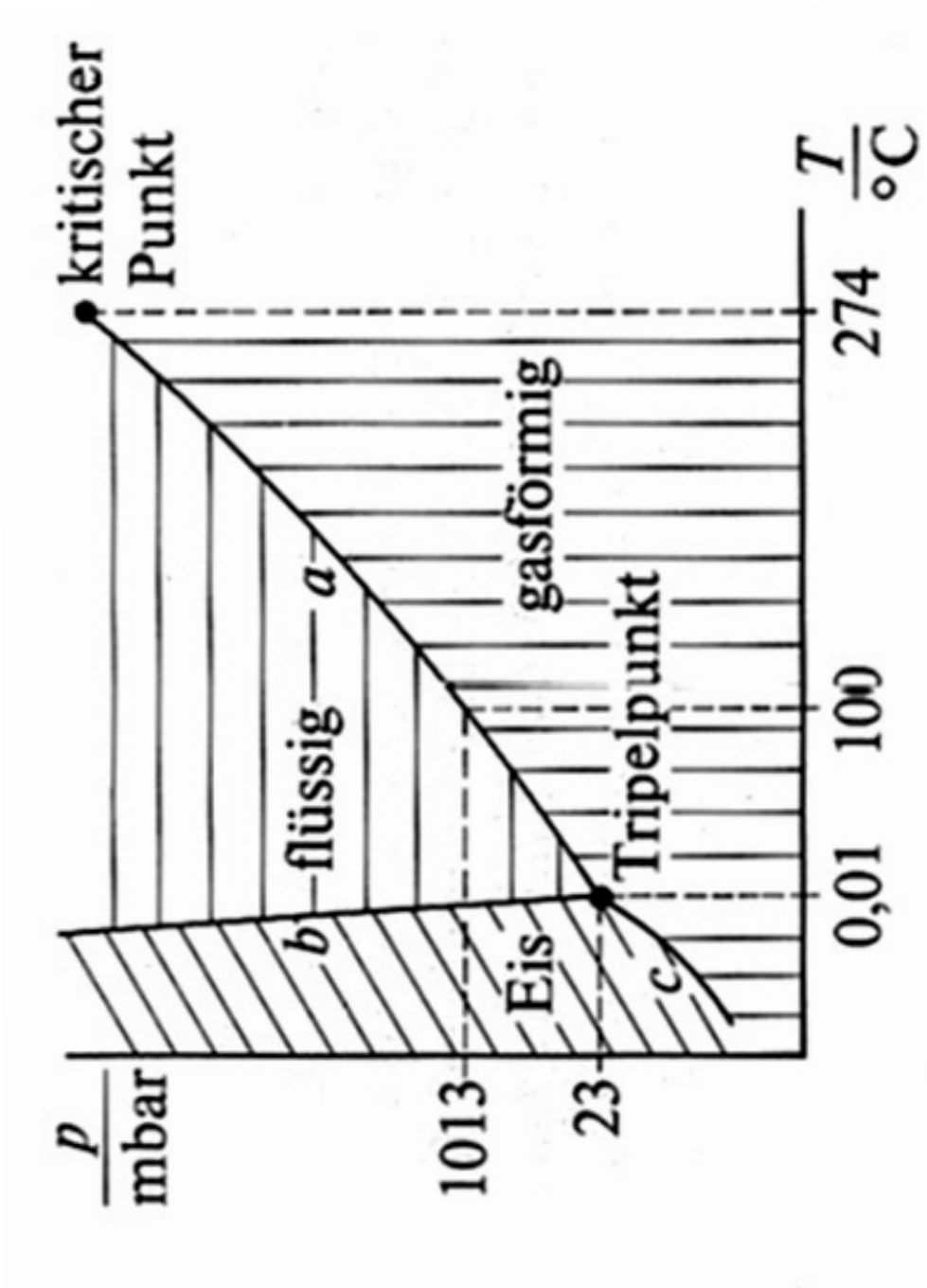
- **Wärmeübertragung**  
Temperaturdifferenz von Körpern wird ausgeglichen durch einen **Wärmestrom**

$$\frac{\Delta Q}{t} = \lambda \cdot \frac{A}{\ell} \Delta T$$

$\Delta Q/t$ : Wärmemenge  $\Delta Q$ , die pro Zeit  $t$  durch die Fläche  $A$  strömt,  
 $\Delta T$ : Temperaturdifferenz zwischen den Enden mit Abstand  $\ell$ ,  
 $\lambda$ : Wärmeleitzahl (materialabhängig).

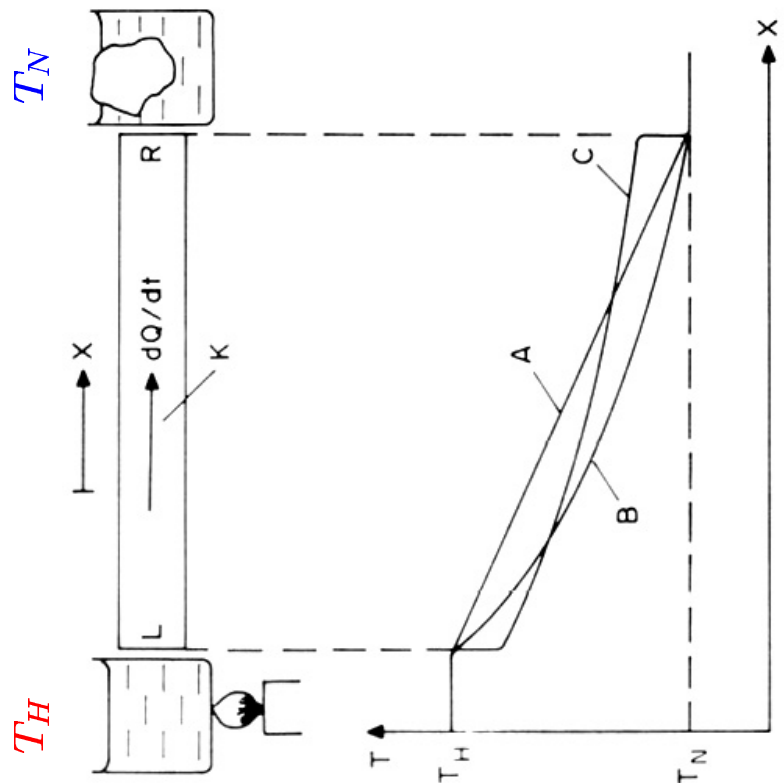
Die **Wärmeübertragung** kann geschehen über **Wärmeleitung**, **Konvektion**, **Wärmestrahlung**.

# p-T-Zustandsdiagramm von Wasser



a) Dampfdruckkurve, b) Schmelzkurve, c) Sublimationskurve.

# Wärmeleitung



**Abb. 7.10.** Von einem Körper mit konstant höherer Temperatur  $T_H$  (siedendes Wasser), erfolgt Wärmeleitung durch den Körper  $K$  zu einem Körper niedrigerer Temperatur  $T_N$  (Eiswasser). Graph A beschreibt Temperaturverlauf bei idealer seitlicher Wärmeisolation von K, Graph B den Temperaturverlauf bei schlechter seitlicher Wärmeisolation von K und Graph C bei Berücksichtigung von Wärmeübergangswiderständen an den Kontaktstellen bei L und R

- **Diffusion**

Diffusion beschreibt **Massentransport**. Sie sorgt für **Ausgleich von Konzentrationsgefällen**. Das passiert über thermische Bewegung der Teilchen.

Es gilt **1. Ficksche Gesetz**:

$$\frac{\Delta n}{\Delta t} = D \cdot A \cdot \frac{\Delta c}{\Delta x}$$

( $\Delta n$  ist Zahl der Teilchen, die in der Zeit  $\Delta t$  bei einem Konzentrationsunterschied von  $\Delta c$  über eine Strecke  $\Delta x$  durch eine Fläche A hindurchtreten.  
 $D$  ist die Diffusionskonstante.)

Bei Gasen:

$$D \text{ prop. } \frac{1}{\sqrt{M}},$$

$M$ : relative Molekülmasse (Molekulargewicht).

- **Osmose**

Reines Wasser und wässrige Zuckerlösung seien durch semipermeable Wand getrennt (nur für Wassermoleküle, nicht für Zuckermoleküle durchlässig). Solange Diffusion von Wasser auf die "Zucker"-Seite, bis Druckunterschied  $p_{osm}$  weitere Diffusion verhindert.

Es gilt Van-t'Hoff'sche Gleichung

$$p_{osm} \cdot V_{fl} = n \cdot R \cdot T$$

**Osmotischer Druck**  $p_{osm}$  ist ebenso groß wie Druck, den gelöste (Zucker-) Teilchen als ideales Gas ausüben würden.

Zellwände in lebenden Organismen sind auch selektiv-permeable Membranen. Organismen sorgen dafür, dass **innerhalb und außerhalb der Zellen derselbe osmotische Druck**.

## Blutplasma-Ersatz

Blutplasma-Ersatz muss **isotonisch** zum Blut sein (die gleiche Stoffmengendichte osmotisch wirksamer Teilchen haben), **sonst** würde bei z.B. reinem Wasser dieses in die Zelle diffundieren und die Zelle zum **Platzen** bringen. Wenn umgekehrt osmotischer Druck außen zu groß wäre, würde Zelle **austrocknen**.

## Physiologische Kochsalzlösung:

**9 g NaCl in 1 ℥ Lösungsmenge (NaCl + H<sub>2</sub>O)**  
kann Blutplasma ersetzen.

Osmotischer Druck ist 0,79 MPa (ca. 7,9 × Atmosphärendruck).

## 2. Hauptsatz der Wärmelehre

schränkt 1. HS ein, denn **viele thermodynamische Prozesse** finden "von selbst" nur **in einer Richtung** statt, z.B.:

- a) **Wärmemenge** geht spontan vom **wärmeren Körper** auf den **kälteren über**, nicht aber umgekehrt.
- b) Herabfallender Ziegel wandelt seine potentielle Energie schließlich in Wärme um, **umgekehrt springt kein Ziegel unter Abkühlung aufs Dach!**
- c) Es gibt **keine periodische Maschine**, die **Meerwasser abkühlt** und die entsprechende **Wärmemenge vollständig in mechanische Arbeit umwandelt**. Dagegen kann mechanische Energie vollständig in Wärme umgewandelt werden.

### **1. Formulierung des 2. Hauptsatzes:**

Alle Vorgänge in der Natur verlaufen so, dass der "Ordnungszustand" abnimmt. Die **Entropie  $S$**  – sie ist ein Maß für die "Unordnung" – nimmt bei "von selbst" ablaufenden Prozessen (irreversiblen Prozessen) immer zu.

## 2. Formulierung des 2. Hauptsatzes:

Es gibt keine periodisch arbeitende Maschine, die nichts anderes bewirkt als Erzeugung mechanischer Energie unter Abkühlung eines Wärmereservoirs.

→ **Wärmemengen können nicht vollständig in mechanische Arbeit umgewandelt werden.**

Wärmekraftmaschinen entnehmen einem Wärmereservoir auf hoher Temperatur  $T_1$  die Wärmemenge  $\Delta Q_1$ .

Sie gewinnen mechanische Arbeit  $\Delta W$  und geben gleichzeitig eine Wärmemenge  $\Delta Q_2$  an ein Reservoir mit niedriger Temperatur  $T_2$  (Kühlwasser!) ab.

Ihr Wirkungsgrad ist

$$\eta = \frac{\Delta W}{\Delta Q_1} = 1 - \frac{T_2}{T_1} < 1$$

(bei einem Carnot-Kreisprozess).

Also **möglichst hohes  $T_1$  und möglichst niedriges  $T_2$  !** (Kolbendampfmaschinen erreichen  $\eta \approx 0,2$ ; Dampfturbinen  $\eta \approx 0,5$ ).

Kältemaschinen und Wärmepumpen arbeiten umgekehrt:

Unter Aufwand mechanischer Arbeit  $\Delta W$  „pumpen“ sie eine Wärmemenge  $\Delta Q (> \Delta W)$  von einem kälteren Reservoir in ein wärmeres.

Bei der Herstellung von Warmwasser „erspart“ dabei die Wärmepumpe mechanische (bzw. elektrische Energie)!

# Entspannung von idealen/realen Gasen

Ideale Gase:  
 $\Delta T = 0$ , da weder Wärme zu- oder abgeführt wird und auch keine Arbeit verrichtet wird.

Reale Gase:  
Es wird Arbeit gegen Kohäsionskräfte verrichtet. Ein Teil der ungeordneten kinetischen Energie der Moleküle wird in potentielle Energie verwandelt, die Folge ist Abkühlung (Joule-Thomson-Effekt).

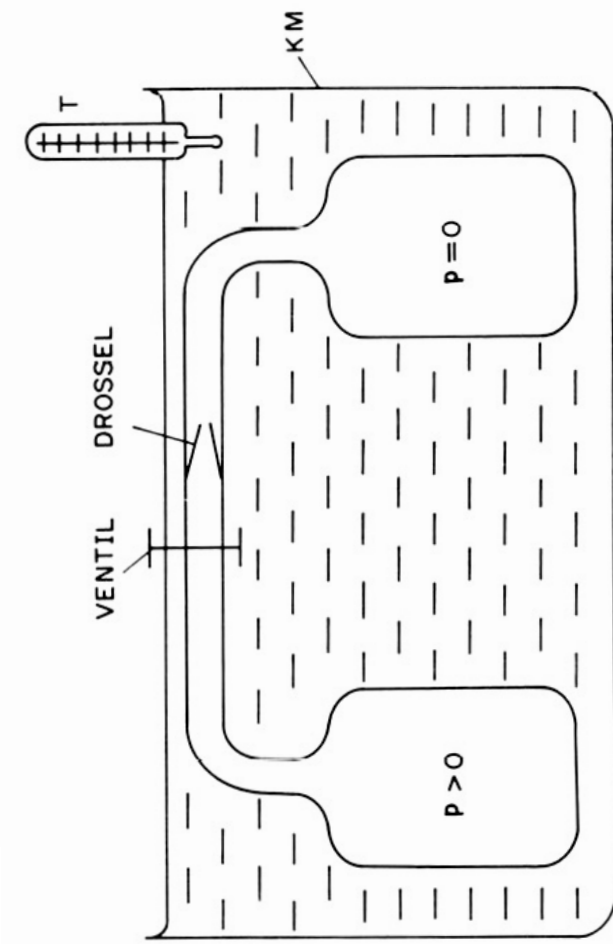


Abb. 8.6. Versuch von Gay-Lussac 1807. In einem Kalorimeter  $KM$  befinden sich zwei Gasbehälter. Einer ist mit Luft unter dem Druck  $p$  und der Temperatur  $T$  gefüllt, der andere evakuiert. Durch Öffnen des Ventils erfolgt Druckausgleich

# Kühlschrank/Wärmepumpe

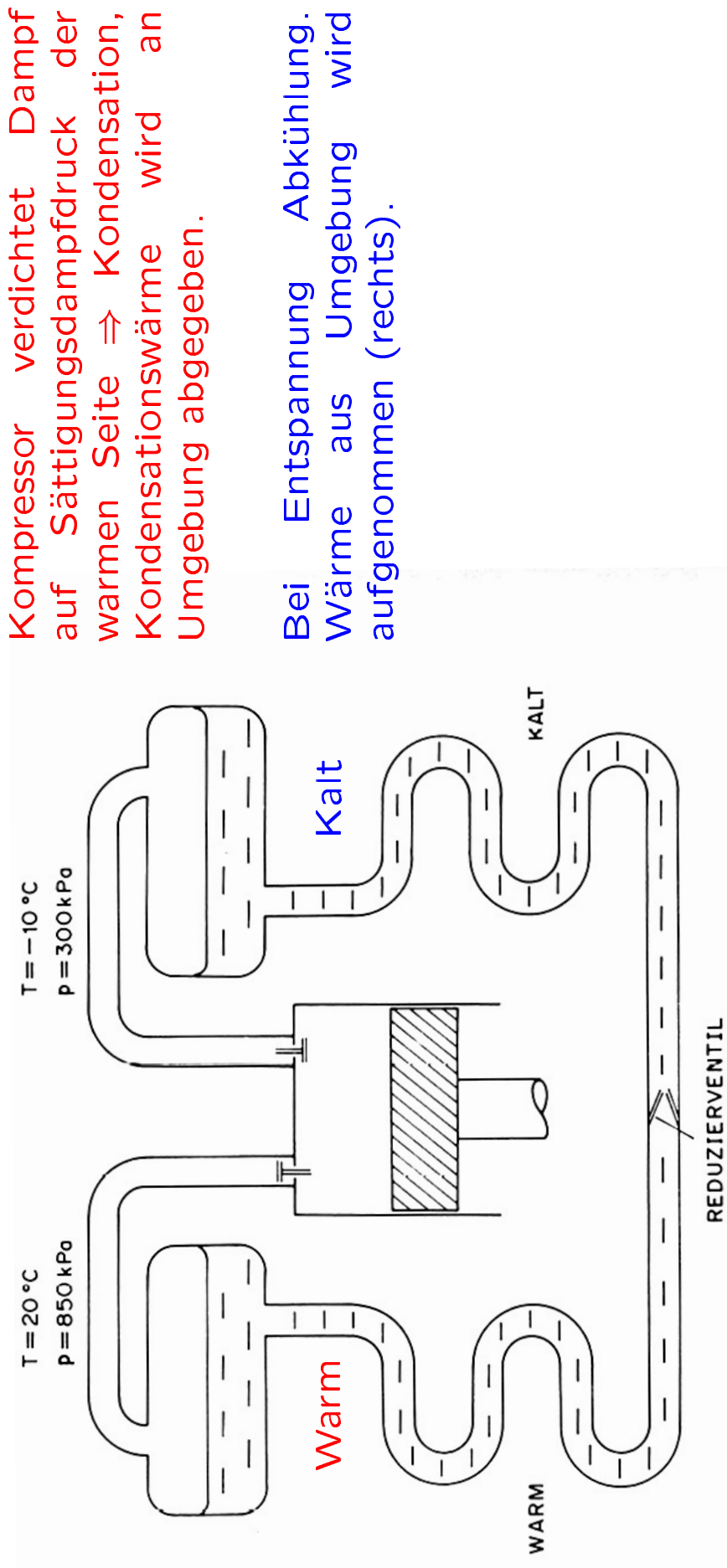


Abb. 8.7. Wärmepumpe. Als Arbeitsstoff wird beispielsweise Frigen ( $\text{CHFCl}_2$ ) benutzt. Der Sättigungsdampfdruck von Frigen beträgt bei  $T = 20^\circ\text{C}$  etwa 850 kPa und bei  $-10^\circ\text{C}$  etwa 300 kPa

# Schwingungen

Schwingungen sind periodisch sich wiederholende Vorgänge.

## Mechanische Schwingung:

**Kinetische** (oder Rotations-) **Energie gehen in potentielle Energie über und umgekehrt** (Fadenpendel, Federpendel, Wassersäule im U-Rohr).

## Harmonische Schwingung (Sinusschwingung):

$$x = x_0 \cdot \sin(\omega t + \varphi)$$

$x_0$ : Amplitude,

$\omega$ : Kreisfrequenz,

$\varphi$ : Phasenwinkel.

Harmonische Schwingung ist Projektion einer gleichförmigen Drehbewegung.

## Notwendig für harmonische Schwingung:

**Kraft  $F$ , die die Masse bei einer Auslenkung “zurückholt”, ist proportional zur Auslenkung  $x$  und ihr entgegengesetzt:**

$$\textcolor{red}{F} = -Dx$$

(gilt bei kleinen Auslenkungen des Faden- und Federpendels).

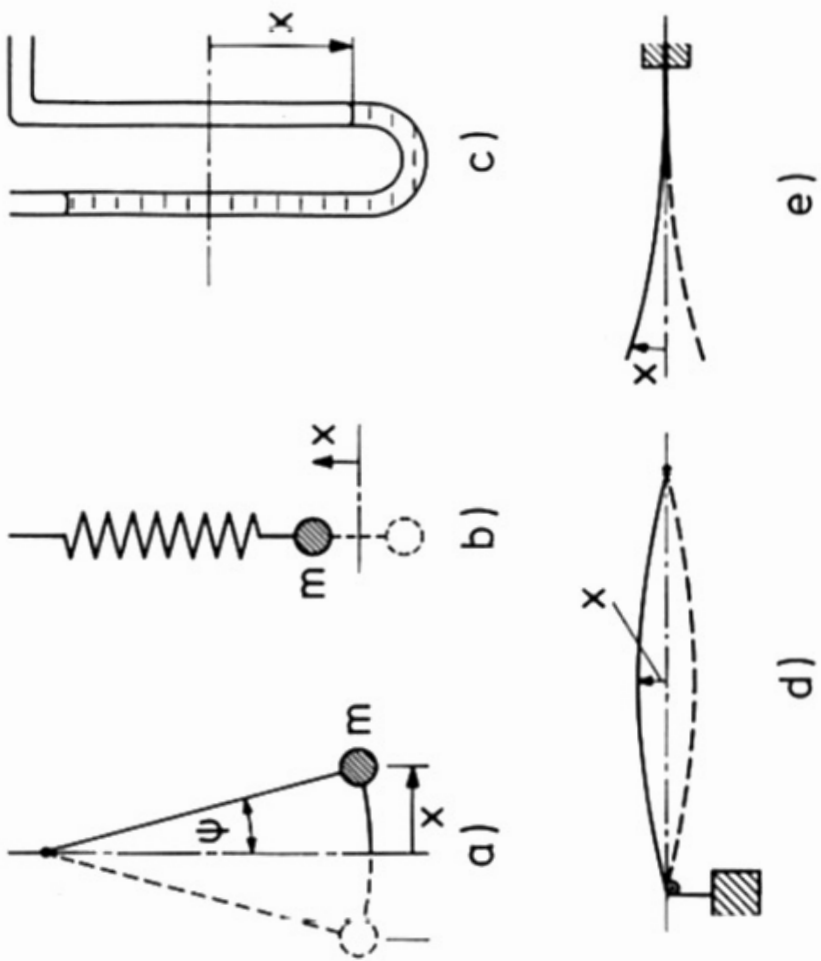
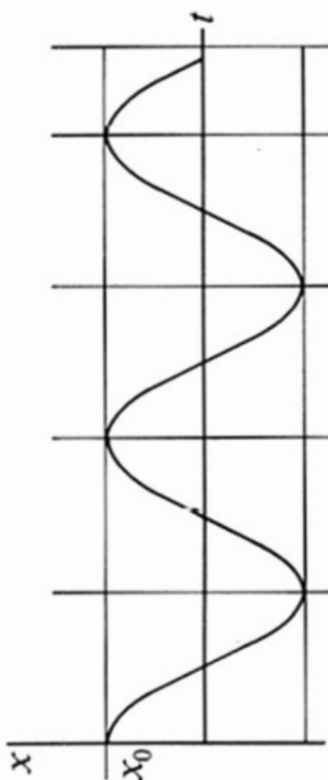
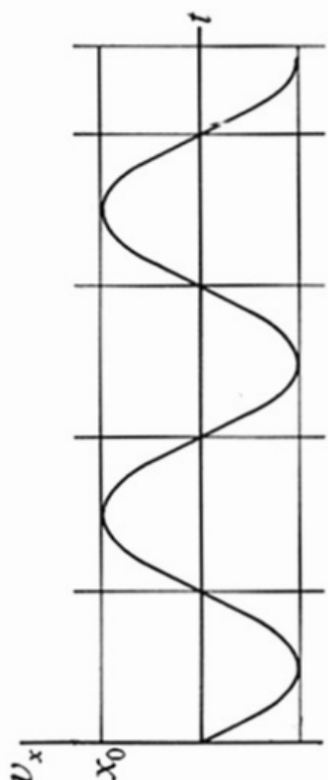


Fig. 13.1  
Verschiedene schwingungsfähige Systeme  
(Schwinger, Oszillatoren)

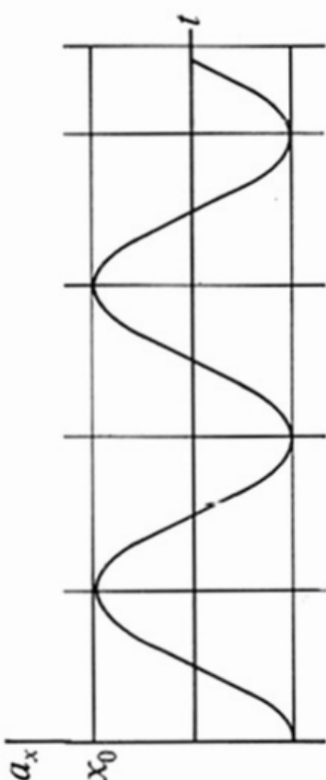
- Fadenpendel,
- Federpendel,
- Flüssigkeitssäule als Schwinger,
- gespannte Saite als Schwinger,
- einseitig eingespannte Blattfeder als Schwinger



Weg-Zeit-  
( $x$ - $t$ ) Diagramm

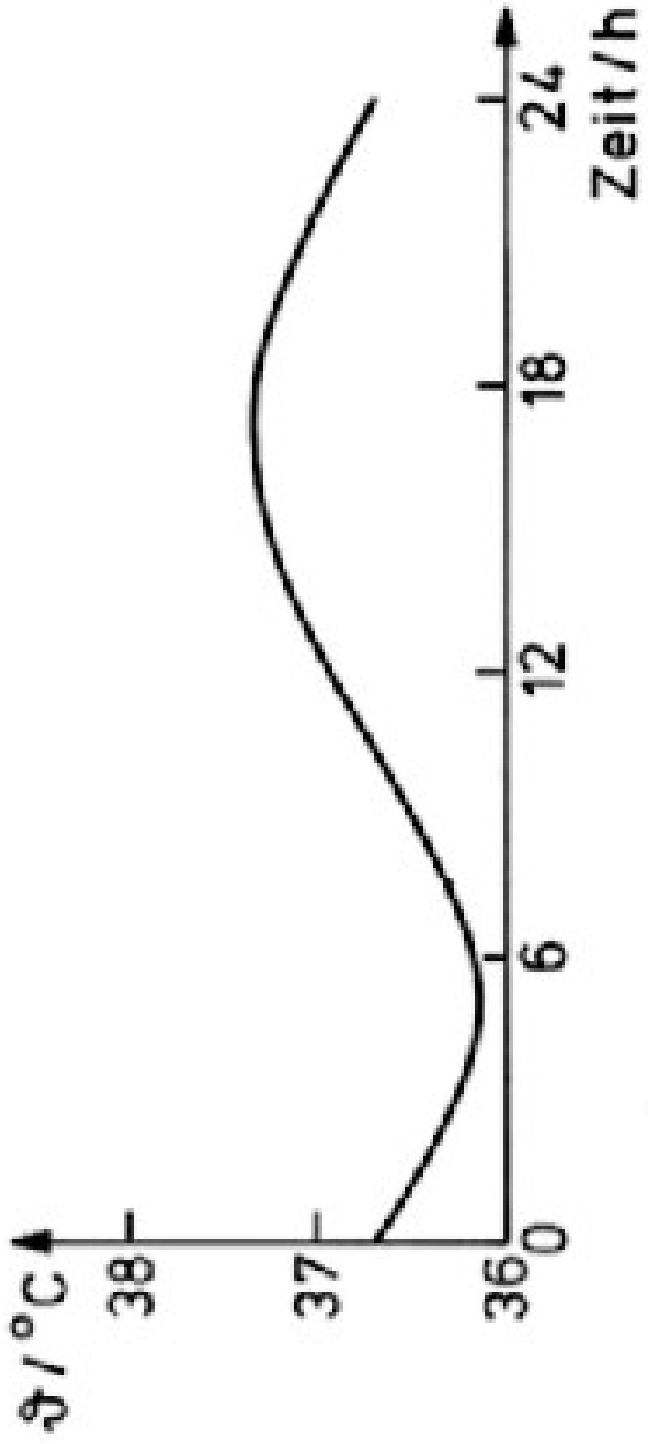


Geschwindigkeit-Zeit-  
( $v$ - $t$ ) Diagramm



Beschleunigung-Zeit-  
( $a$ - $t$ ) Diagramm

Abb. 7.3. Auslenkung, Geschwindigkeit und Beschleunigung einer harmonischen Bewegung als Funktion der Zeit  $t$ .



**Fig. 13.4**  
Die Temperatur des menschlichen Körpers hat einen sinusähnlichen Tagesverlauf

Dann gilt:

$$\omega = 2\pi/T = \sqrt{D/m}$$

$T$ : Schwingungsdauer

$$\text{Schwerekopendel} \Rightarrow T = 2\pi\sqrt{\frac{\ell}{g}}$$

### Gedämpfte Schwingung:

Jedes schwingende makroskopische physikalische System verliert i.a. ständig mechanische Energie durch **Reibung** (Amplituden werden kleiner).

$$x = x_0 \cdot e^{-\delta t} \sin(\omega t + \varphi)$$

$\delta$ : Dämpfungskonstante,

$$\omega = \sqrt{\omega_0^2 - \delta^2},$$

$\omega_0$ : "ungedämpfte" Kreisfrequenz.

$\delta = \omega_0$  führt zum aperiodischen Grenzfall.

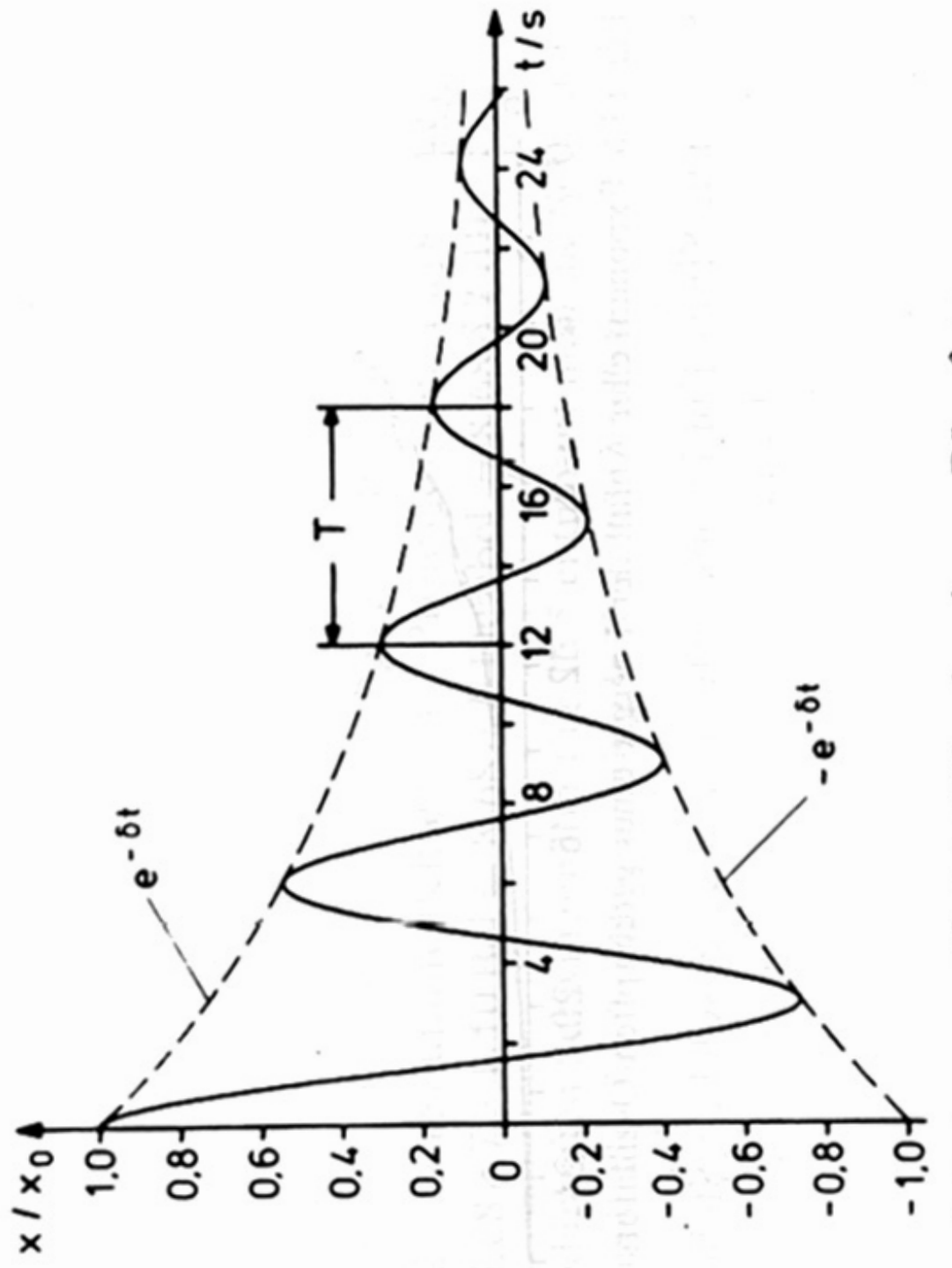


Fig. 13.5 Zeitlicher Verlauf einer Schwingungsgröße bei Vorhandensein von Dämpfung

## Erzwungene Schwingung:

Schwingung mit der Frequenz des Erregers, wenn eine äußere periodische Kraft (Drehmoment) wirkt **auf schwingungsfähiges System**.

### Resonanzkurve:

Amplitude der Schwingung in Abhängigkeit von der Frequenz des Erregers. Maximum (**Resonanzkatastrophe**), wenn **Erregerfrequenz gleich der Oszillatorkreuzenz** (Dämpfung  $\delta = 0$ ).

**Phasendifferenz** zwischen Erreger und Oszillator ist **im Resonanzfall  $\varphi = \pi/2$** , d.h. wenn Erreger maximale Auslenkung hat, bewegt sich Oszillator mit größter Geschwindigkeit durch Nullpunkt.

### Beispiele für Resonanzen:

Zungen-Frequenzmesser, Brücke, Tidenhub. Mit zunehmender Dämpfung wird Resonanzfrequenz kleiner.

### Fourier-Theorem:

Bisher haben wir nur harmonische Schwingungen betrachtet. Andere Schwingungen (Rechteck, Kipp, EKG) lassen sich nach **Fourier-Theorem** als Summe von harmonischen Schwingungen darstellen.

Diese Schwingungen haben Frequenzen, die Vielfachem der Grundfrequenz entsprechen mit unterschiedlichen Amplituden (**Oberschwingungen**).

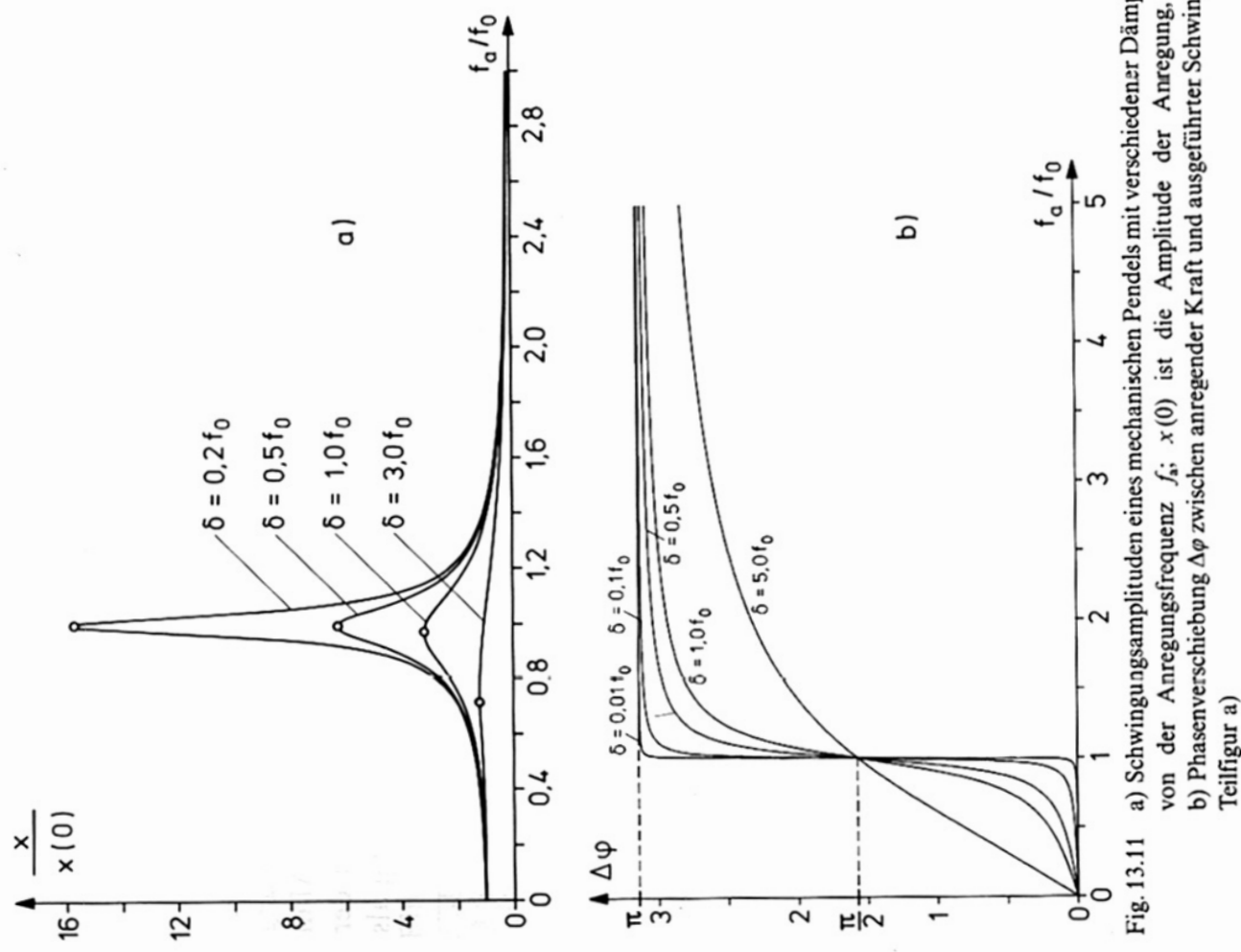
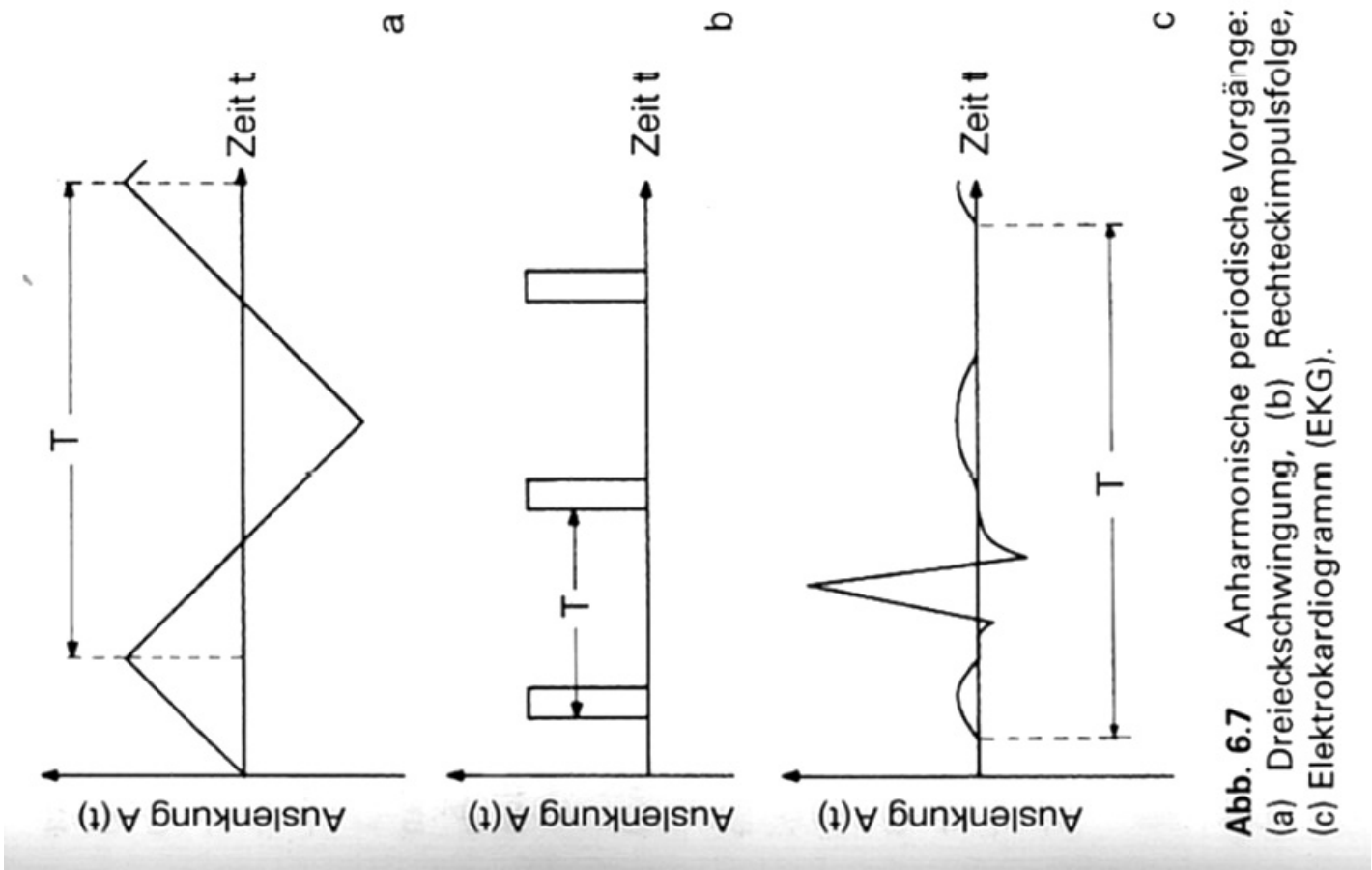
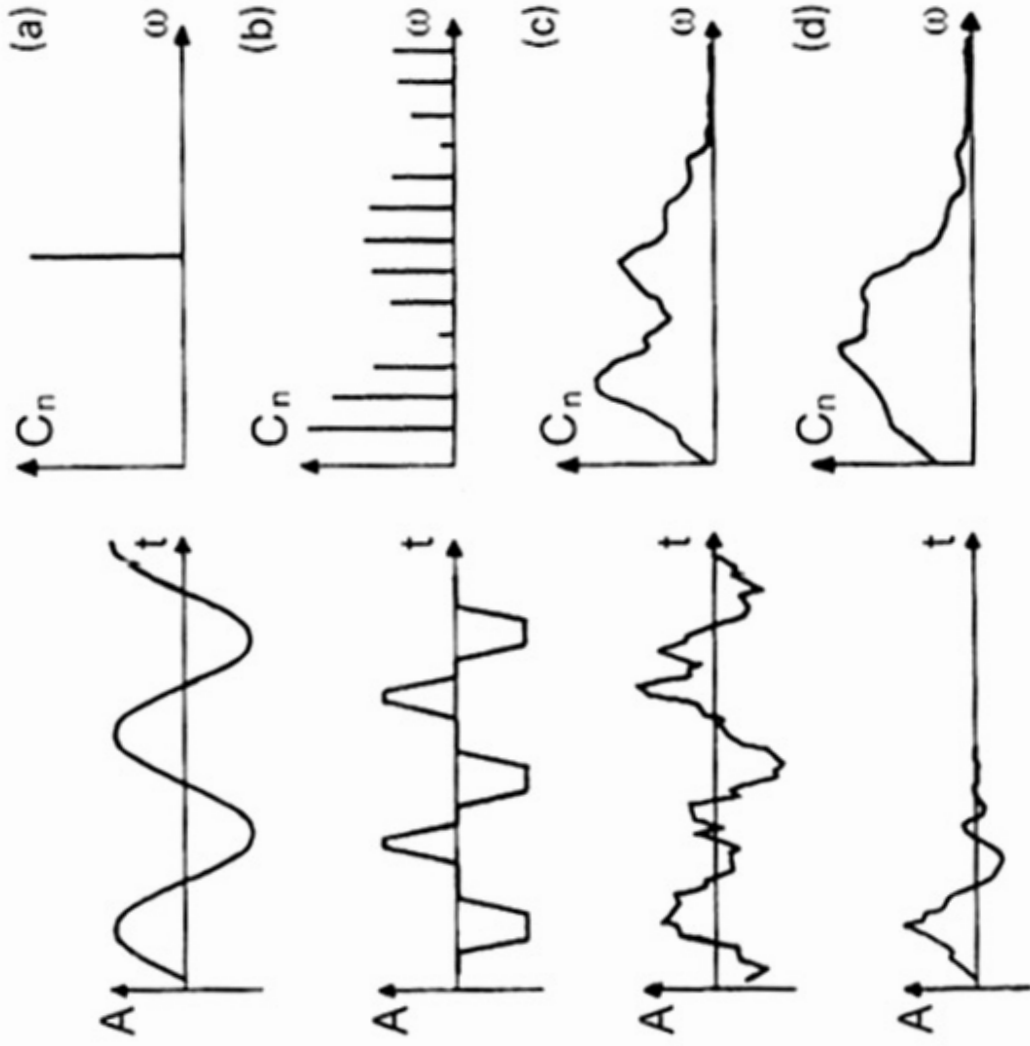


Fig. 13.11 a) Schwingungsamplituden eines mechanischen Pendels mit verschiedener Dämpfung in Abhängigkeit von der Anregungsfrequenz  $f_a$ ;  $x(0)$  ist die Amplitude der Anregung, wenn  $f_a = 0$  ist.  
b) Phasenverschiebung  $\Delta\varphi$  zwischen anregender Kraft und ausgeführter Schwingung beim Pendel von Teilfigur a)



**Abb. 6.7** Anharmonische periodische Vorgänge:  
(a) Dreieckschwingung, (b) Rechteckimpulsfolge,  
(c) Elektrokardiogramm (EKG).



**Abb. 7.12** (a) Amplitudenfunktion und Spektrum eines Tones; (b) Amplitudenfunktion und Spektrum eines Klanges; (c) Amplitudenfunktion und Spektrum eines Geräusches; (d) Amplitudenfunktion und Spektrum eines Knalls.

## Gekoppelte Schwingungen:

(z.B. "Hantel" an Schraubenfeder hängend) geht die **Bewegungsenergie** von einem auf das andere System über und umgekehrt.

## Wellen

Physikalische Größe ändert sich nicht nur mit der Zeit (wie bei Schwingungen) sondern auch mit dem Ort **periodisch**:

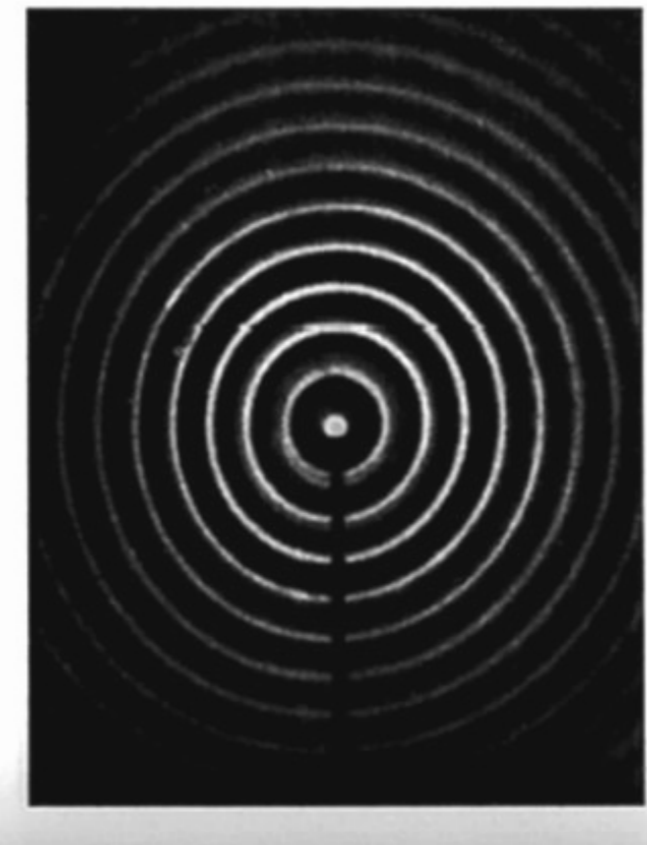
$$u(x, t) = u_0 \sin \left( 2\pi \frac{x}{\lambda} - 2\pi \frac{t}{T} \right)$$

$u, u_0$ : entsprechende physikalische Größe (z.B. Auslenkung; Druck bei Schallwellen; magnetische und elektrische Feldstärke bei elektromagnetischen Wellen),

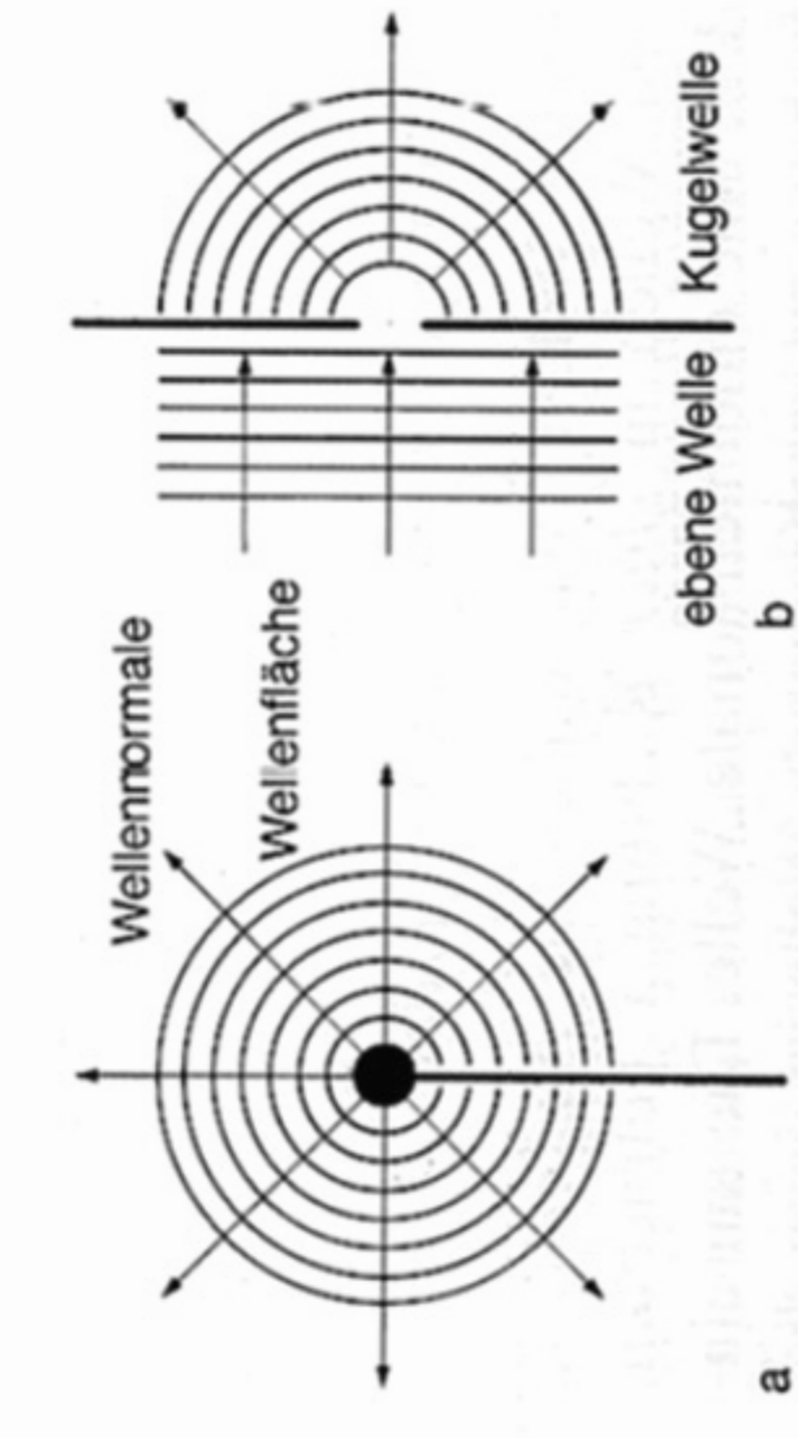
$\lambda$ : Wellenlänge (Periodizität im Ort),  
 $T = 1/f$ : Schwingungsdauer.

Wellen auf einem See:

**Form einer "Störung" bewegt sich fort**, nicht aber z.B. Blätter, die auf See schwimmen: es findet kein Materialtransport statt!  
Wasserteilchen führen **Schwingungen** um ihre Ruhelage **senkrecht zur Ausbreitungsrichtung** aus.



**Abb. 7.1** Kreisförmig von einer punktförmigen Quelle sich ausbreitende Wasserwellen (entnommen aus Bergmann/Schaefer: Lehrbuch der Experimentalphysik Band 1, Mechanik, Relativität, Väärme, Walter de Gruyter, Berlin, New York, 1998).



**Abb. 7.2** Kugelwellen: (a) Schallwellen eines Kugelstrahlers; (b) Lichtwellen hinter einer von einer ebenen Welle beleuchteten Lochblende (siehe hierzu auch Kap. 18.2.3).

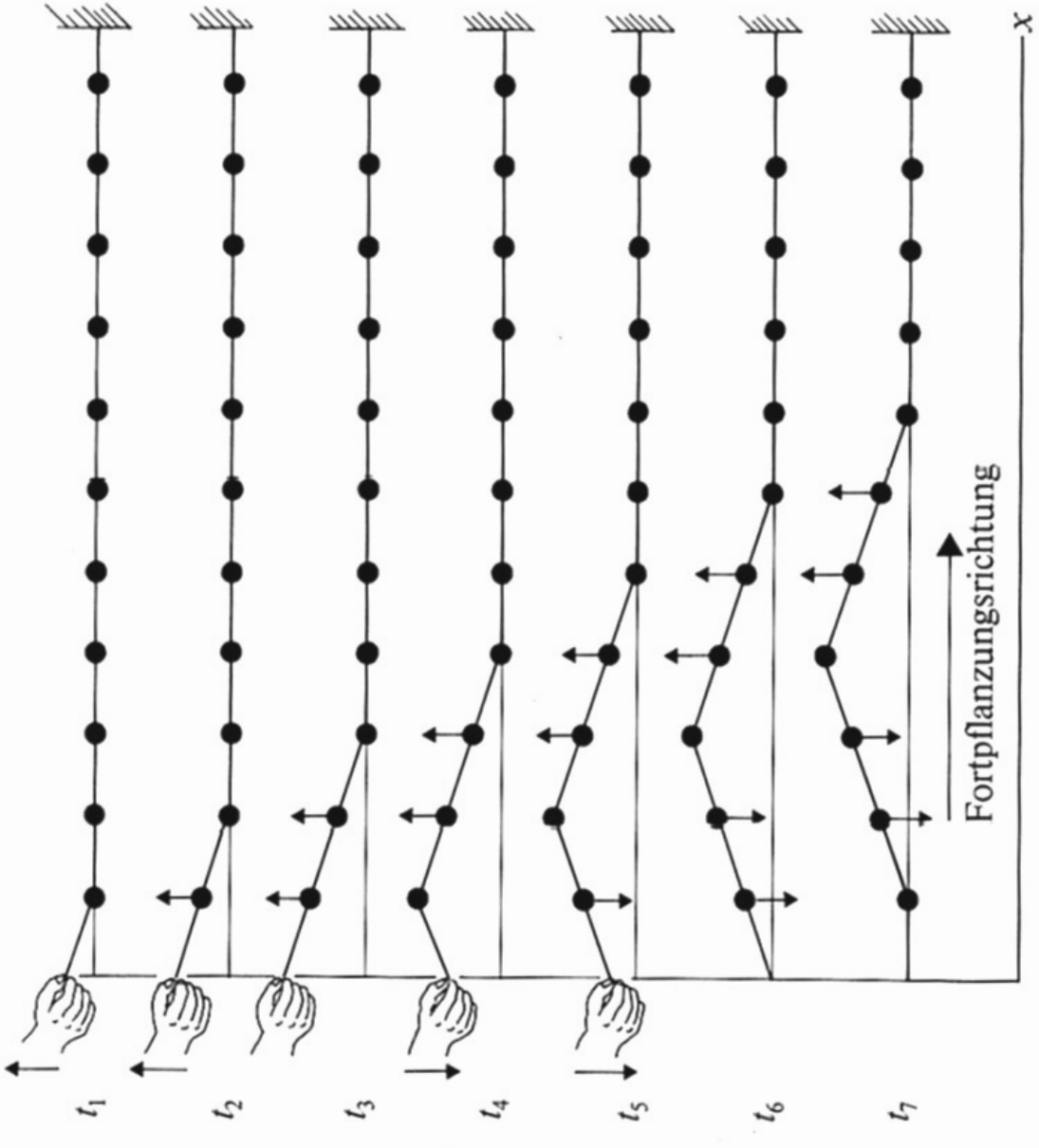


Abb. 7.17. Fortpflanzung eines Wellenimpulses in einer Pendelkette.

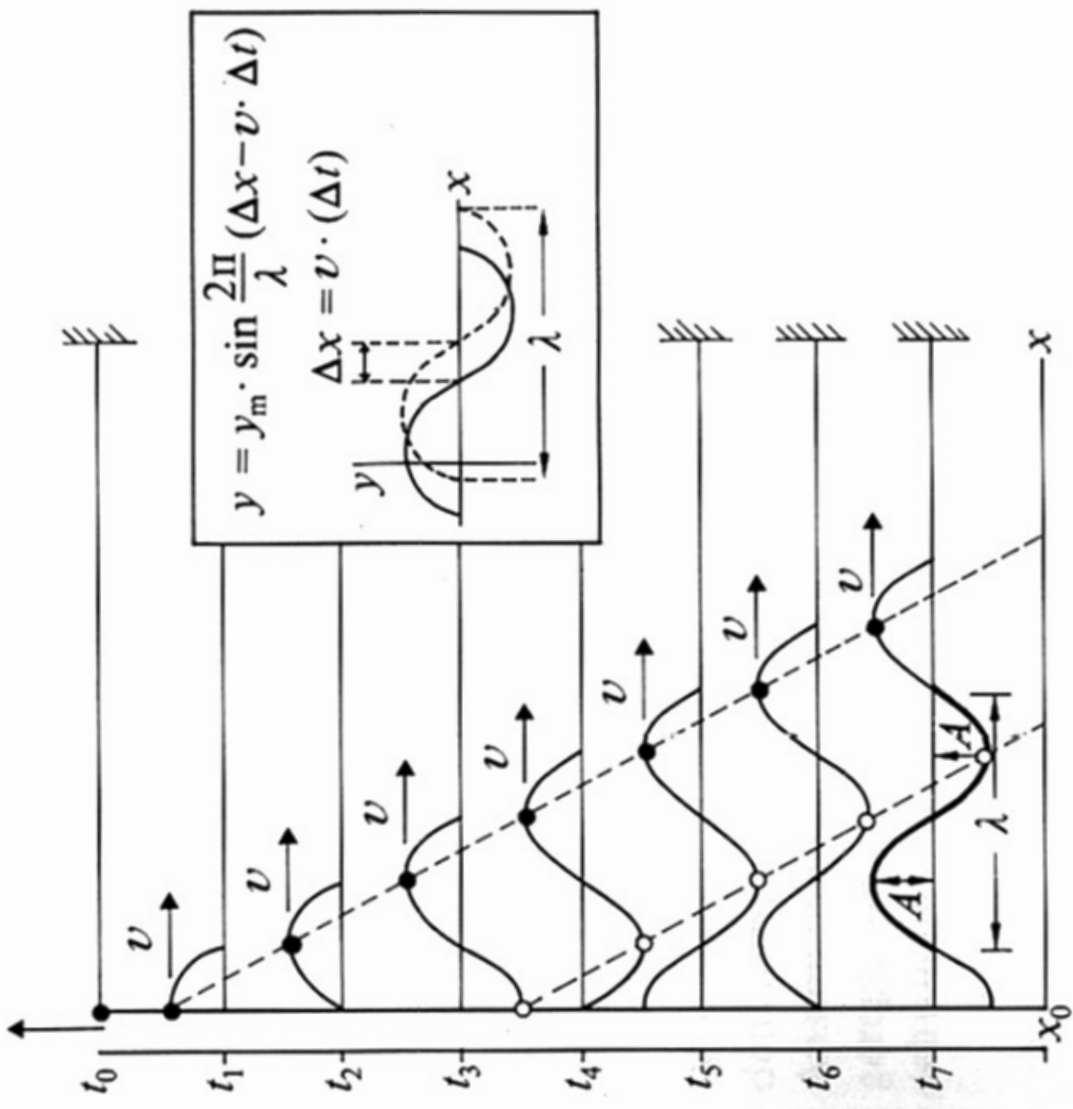


Abb. 7.18. Eine mit der Geschwindigkeit  $v$  nach rechts laufende Seilwelle mit der Wellenlänge  $\lambda$  und der Amplitude  $A$ . Im Kasten ist die mathematische Form der Welle und die im Zeitintervall zurückgelegte Strecke  $\Delta x$  dargestellt.

**Die Störung wird** von einem Teilchen zum nächsten **weitergegeben**, dessen Bewegung erfolgt etwas später. **Teilchen sind miteinander „irgendwie“ gekoppelt.**

Allgemein gilt:

Transportiert wird bei einer Welle nicht Materie, sondern nur die **Störung** und damit Energie.

Die **Ausbreitungsgeschwindigkeit**  $c$  einer Welle (Störung) ist gegeben durch:

$$c \cdot T = \lambda \text{ oder } c = f \cdot \lambda$$

Während einer Schwingungsdauer  $T$  eines Teilchens an einem festen Ort  $x$  läuft der ursprüngliche Schwingungszustand um die Strecke  $\lambda$  (Wellenlänge) weiter.

### Transversalwellen:

**Schwingungsrichtung senkrecht zur Ausbreitungsrichtung**. Hierzu gehören elektromagnetische Wellen (Radiowellen, Licht, Röntgenstrahlen), Seilwellen. Transversalwellen sind polarisierbar (eine Schwingungsebene wird “durchgelassen”).

**Longitudinalwellen:** **Schwingung in Ausbreitungsrichtung** (z.B. Schallwellen in Gasen und Flüssigkeiten).

## Reflexion von Wellen:

**Wellen werden** an Inhomogenitäten (z.B. Medienübergängen) **teilweise reflektiert**.  
Bei Reflexion an **festem Ende** (z.B. Seilwelle an Wand) Phasensprung von  $\pi$ , am offenen Ende kein Phasensprung der reflektierten Welle.

**Überlagerung von "hinlaufender" und "rücklaufender"** Welle führt zu **stehenden Wellen**:

Es gibt **Knotenpunkte** der Schwingung (Abstand  $\ell = n \cdot \frac{\lambda}{2}$ ).

Dazwischen liegen **Schwingungsbäuche** mit maximaler Amplitude.

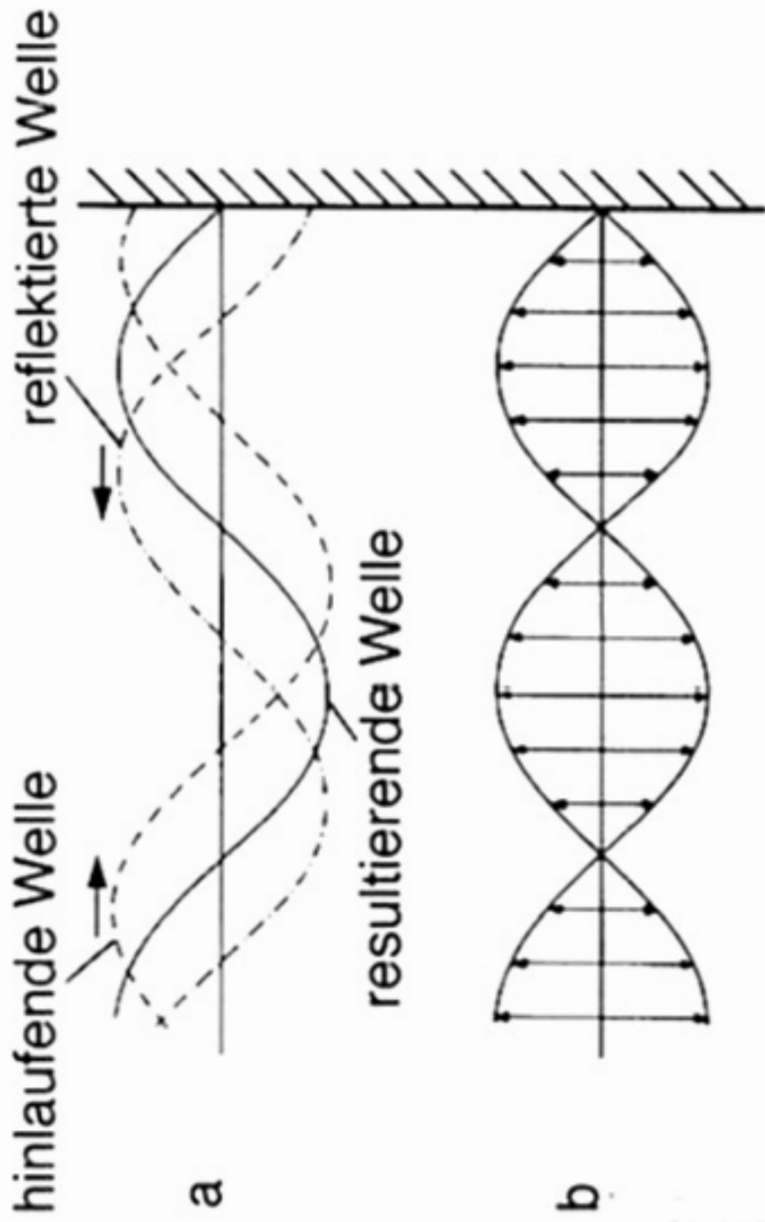
## Schallwellen:

Mechanische Schwingungen mit Frequenzen von **16 Hz – 20 kHz**, darunter Infraschall, von **20 kHz – 1 GHz** Ultraschall.

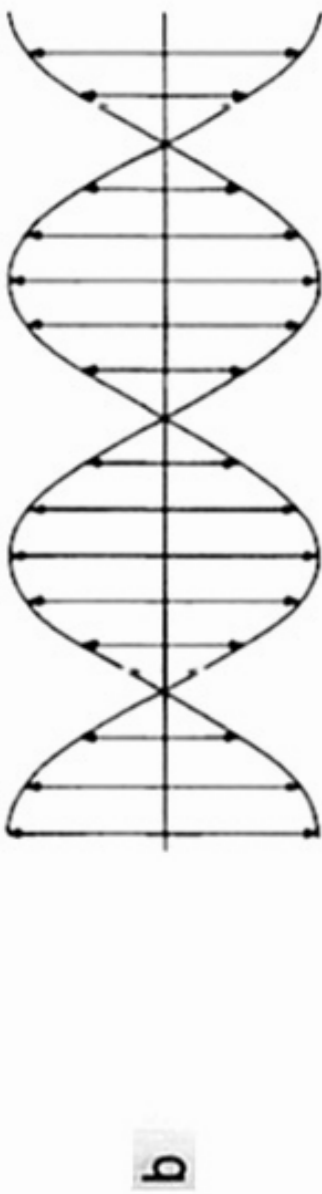
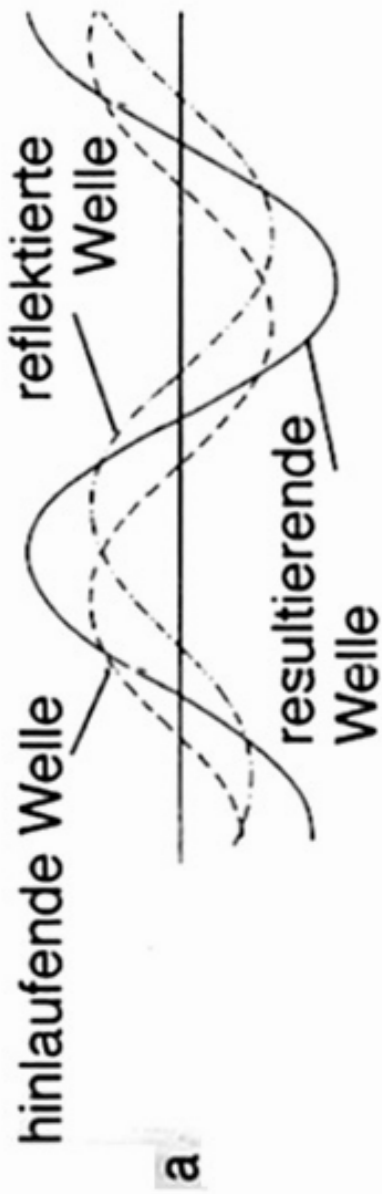
**Ausbreitung** der Schallwellen ist **an Materie gebunden**; in Flüssigkeiten und Gasen sind Schallwellen Dichteschwankungen, die sich als Longitudinalwellen ausbreiten.

## Schallgeschwindigkeit (20°C):

in Luft **331 ms<sup>-1</sup>**,  
in Helium **965 ms<sup>-1</sup>**,  
in Wasser **1530 ms<sup>-1</sup>**.



**Abb. 7.18** (a) Hinlaufende und am festgebundenen Ende reflektierte Seilwelle und Superposition der beiden zur resultierenden Welle (Momentanbild); (b) stehende Welle (Verlauf der resultierenden Amplitude). Die Pfeile zeigen die sich mit dem Ort ändernden Maximalauslenkungen.



**Abb. 7.19** (a) Hinlaufende und am freien Ende reflektierte Seilwelle und Superposition der beiden (Momentanbild); (b) stehende Welle (Verlauf der resultierenden Amplitude). Die Pfeile zeigen die sich mit dem Ort ändernden Maximalauslenkungen.

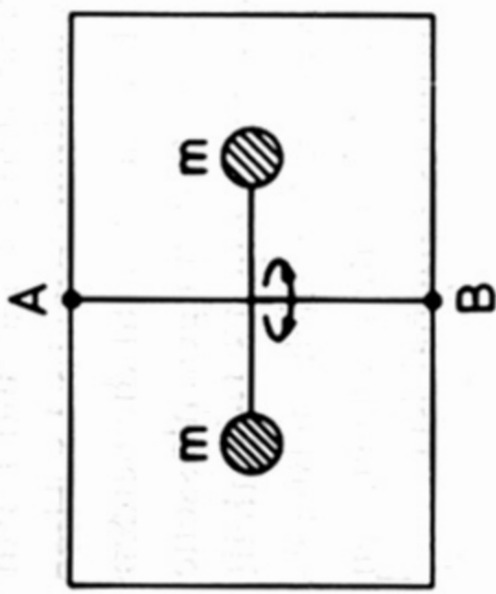


Fig. 13.17 Mechanisches Drehpendel: die Hantel m, m kann mittels des bei A und B eingespannten Drahtes Drillschwingungen ausführen

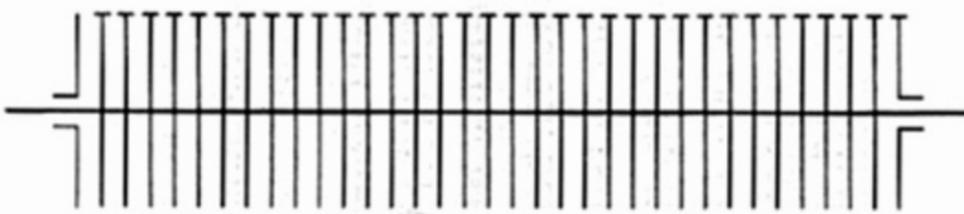


Fig. 13.18 Viele auf einem langen Draht aufgereihte Drehpendel bilden eine Pendelkette (Seitenansicht)

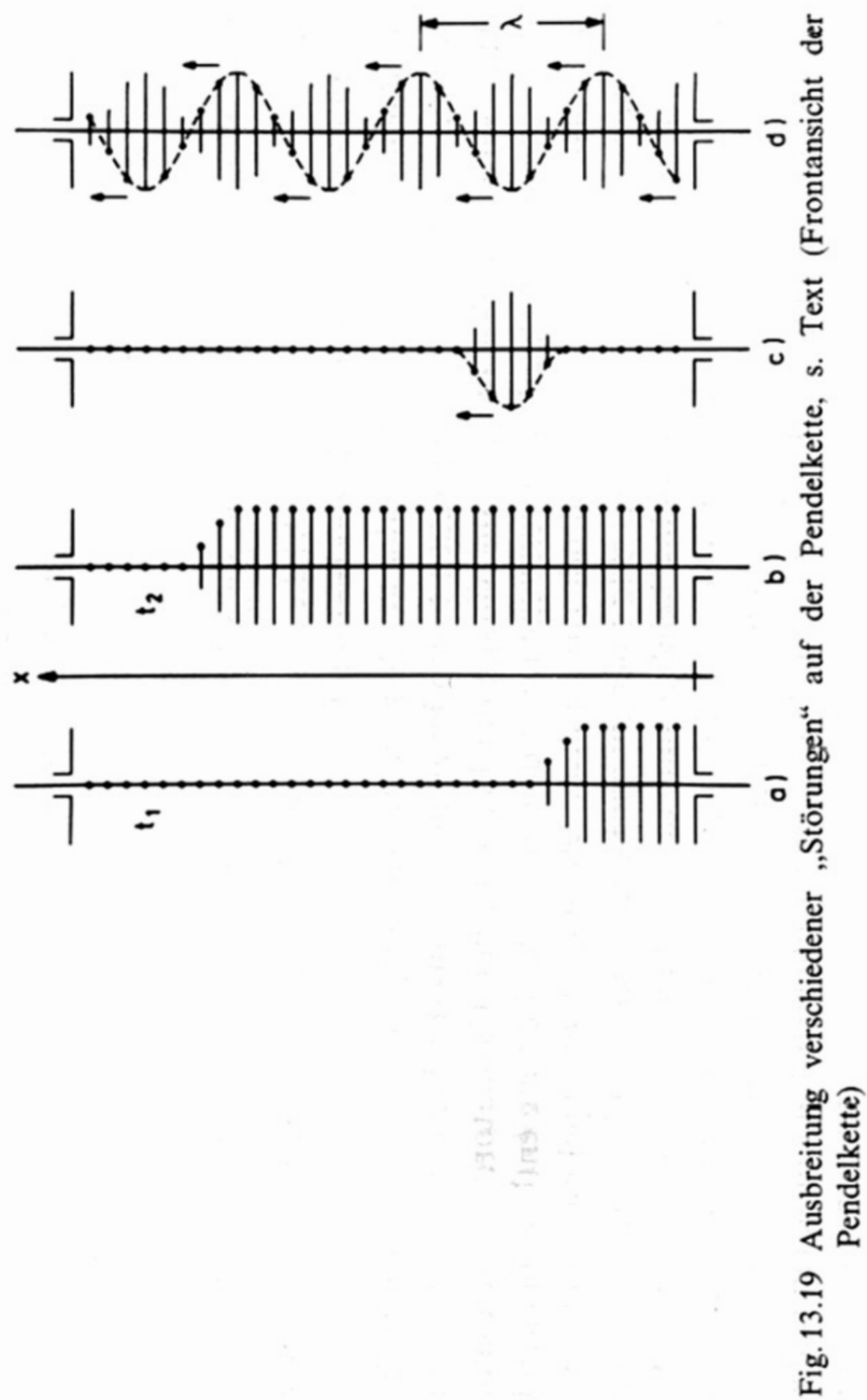


Fig. 13.19 Ausbreitung verschiedener „Störungen“ auf der Pendelkette, s. Text (Frontansicht der Pendelkette)

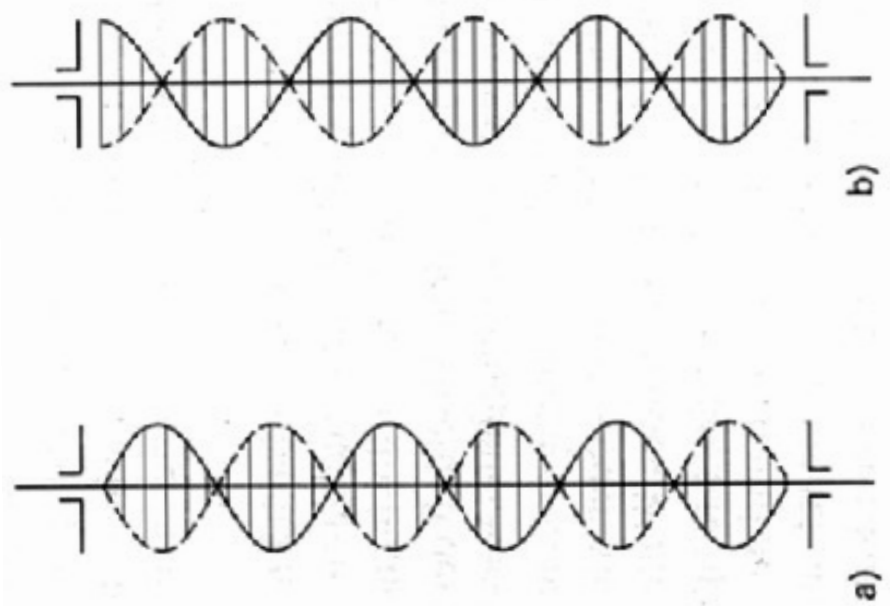
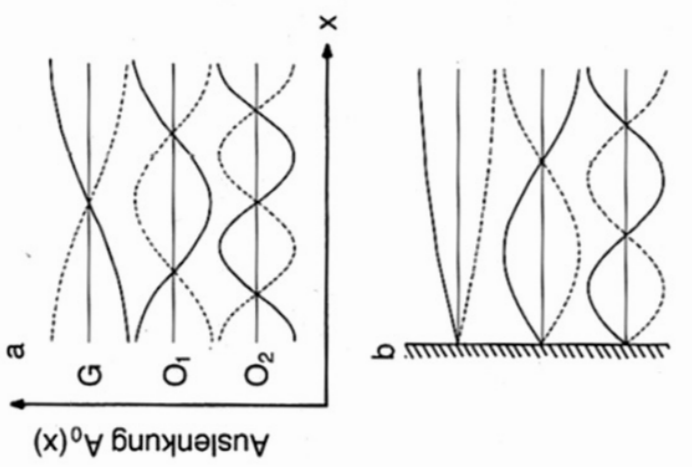
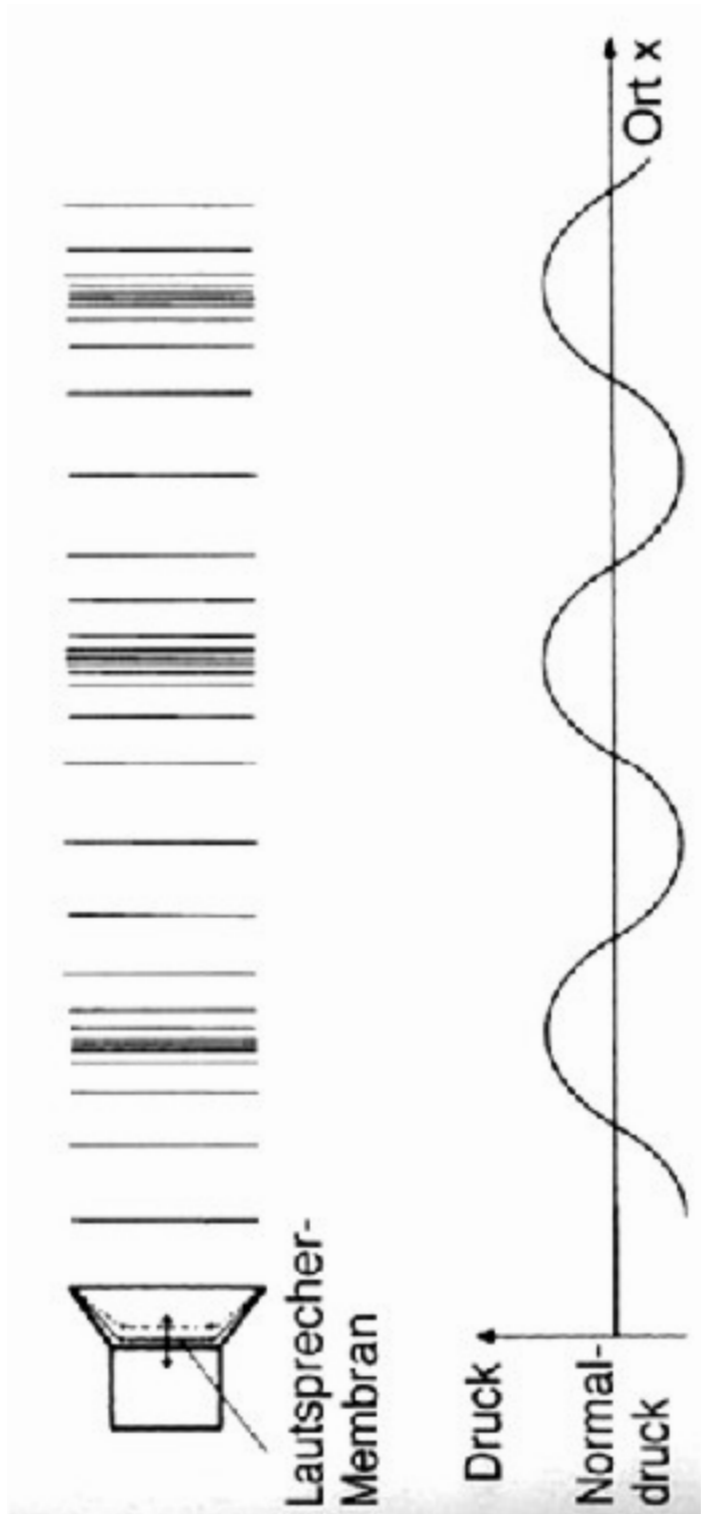


Fig. 13.20  
 Zwei Eigenschwingungen der Pendelkette bei  
 a) festem und b) losem Abschluß  
 a)  $L = n\lambda/2$  ( $n = 6$ ),  
 b)  $L = (n + \frac{1}{2})\lambda/2$  ( $n = 5$ )



**Abb. 6.14** Räumlicher Verlauf der Maximalauslenkung der transversalen Grundschwingung  $G$  und der ersten beiden Oberschwingungen  $O_1$  und  $O_2$  eines Stabes: (a) frei schwingend, (b) an einem Ende fest eingespannt, (c) an beiden Enden fest eingespannt. (Analoge Bilder erhält man auch für die longitudinalen Eigenschwingungen, da die Ordinate nur den Betrag, nicht aber die Richtung der Auslenkung angibt).



**Abb. 7.5** Schwingung einer Lautsprechermembran erzeugt geringfügige periodische Dichteänderungen der Luft (Über- und Unterdruck).

Schallgeschwindigkeit in Festkörpern:  $c = \sqrt{\frac{E}{\rho}}$ ,

$$\text{in Gasen: } c = \sqrt{\frac{c_p}{c_V} \cdot \frac{R \cdot T}{M}}.$$

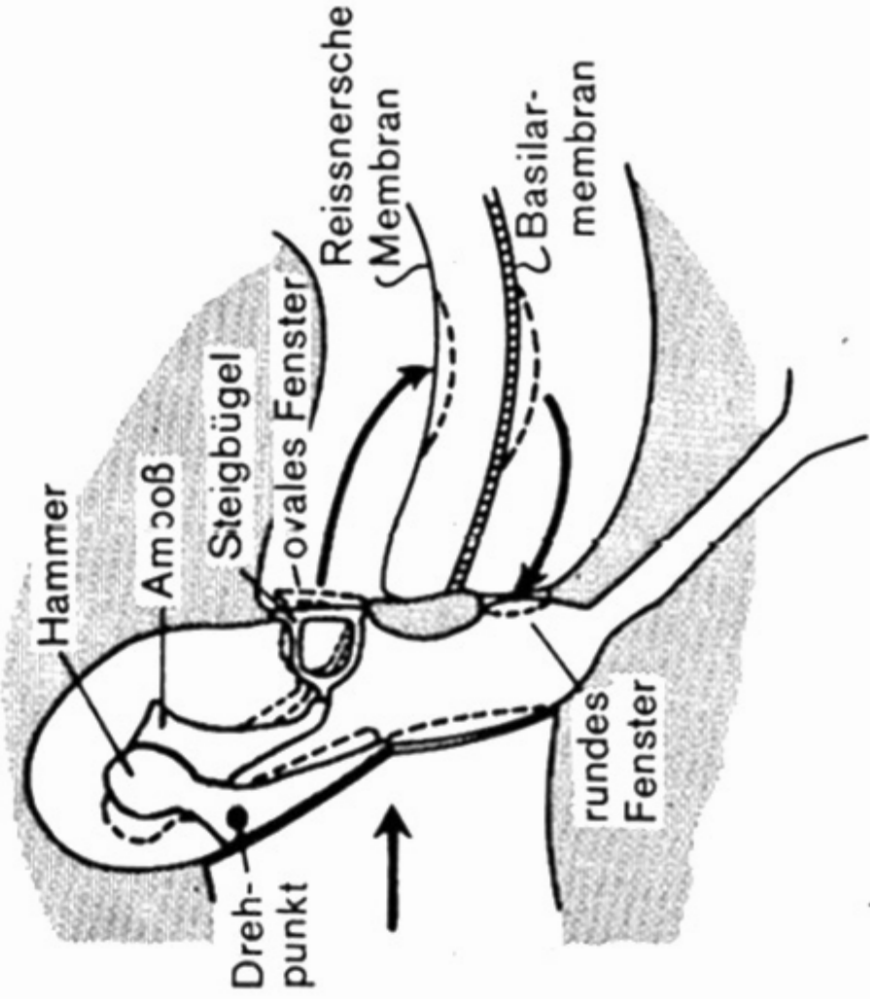
### Ohr:

Das Ohr wandelt **mechanische Schwingungen in Nervensignale** um.

Ankommende Wellen werden über **Außenohr (Schalltrichter)**, **Trommelfell** und **Hebel-**  
**System** (Knöchelchen) sowie **Flüssigkeit des Innenohrs** zur **Schnecke** (trichterförmige  
Aufwicklung) übertragen.

Dort wandelt **Cortisches Organ**, mechanisch gekoppelt an die **Basilmembran**, die  
Schwingungen in elektrische Signale um.

**Trommelfell mit Hebelsystem** bilden **richtigen Wellenwiderstand**, damit die Welle  
nicht an der Flüssigkeitsoberfläche reflektiert wird.



**Abb. 4.28. Mittelohr.** Der Schall versetzt zunächst das schallweiche *Trommelfell* in Schwingungen; diese werden von *Hammer*, *Amboß* und *Steigbügel* auf die (der nachfolgenden Flüssigkeit wegen) schallharte Haut des *ovalen Fensters* übertragen

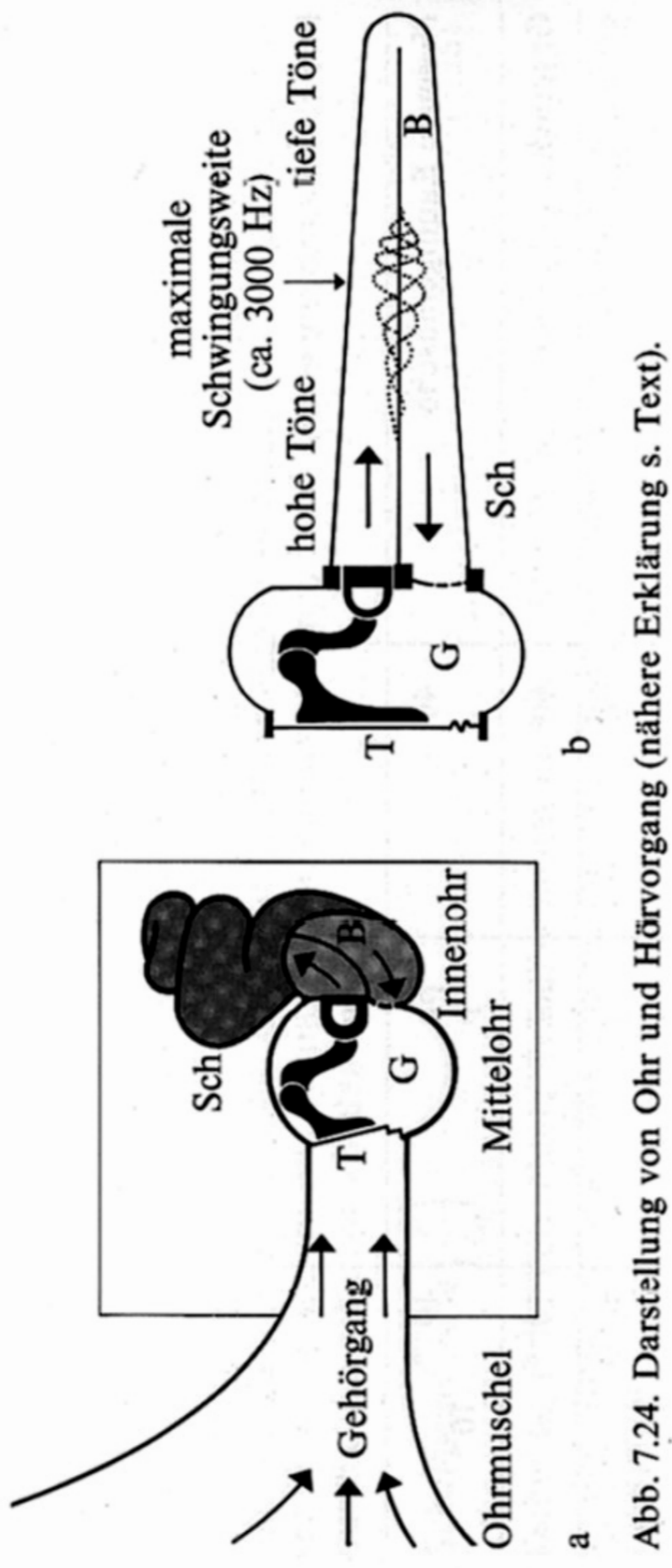


Abb. 7.24. Darstellung von Ohr und Hörvorgang (nähere Erklärung s. Text).



Schema des physikalischen Systems

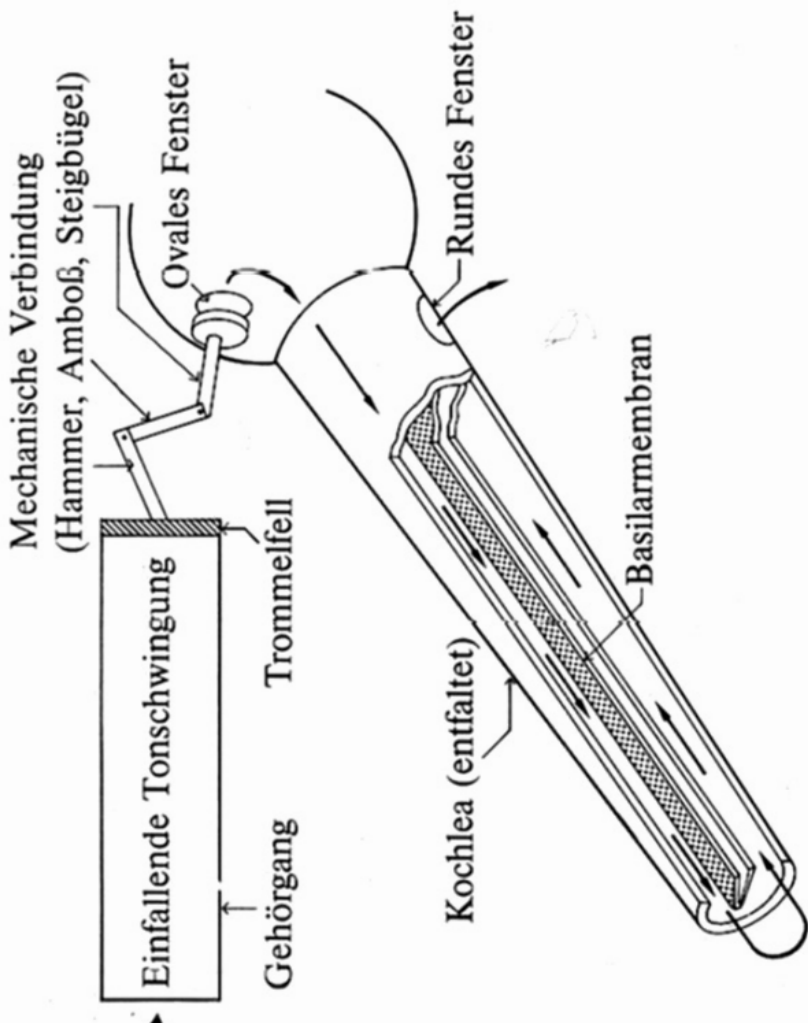


Abb. 7.25. Schematische Darstellung der Struktur des Ohres (nähtere Erklärung s. Text).

## Schallstärke oder Schallintensität:

$$I = \frac{\text{Energie}}{\text{Zeit} \cdot \text{Fläche}}, \quad \text{Einheit} \quad 1 \frac{W}{m^2}$$

Hörschwelle	$I_0$	$= 10^{-12}$	$Wm^{-2}$	0 dB Schallpegel
Sprache hat etwa	$I$	$= 10^{-7}$	$Wm^{-2}$	50 dB Schallpegel
Schmerzschwelle	$I_{max}$	$= 1$	$Wm^{-2}$	120 dB Schallpegel

Der Wertebereich der hörbaren Schallintensitäten erstreckt sich über viele Zehnerpotenzen. Kein Gerät – auch nicht Sinnesorgan Ohr – kann solchen Bereich mit linearer Skala überdecken.

Nach **Gesetz von Weber-Fechner** reagiert **Sinnesorgan logarithmisch**.

Deshalb Definition des **Schallpegels**:

$$L_S = 10 \cdot \lg \frac{I}{I_0} dB$$

dB: Dezibel

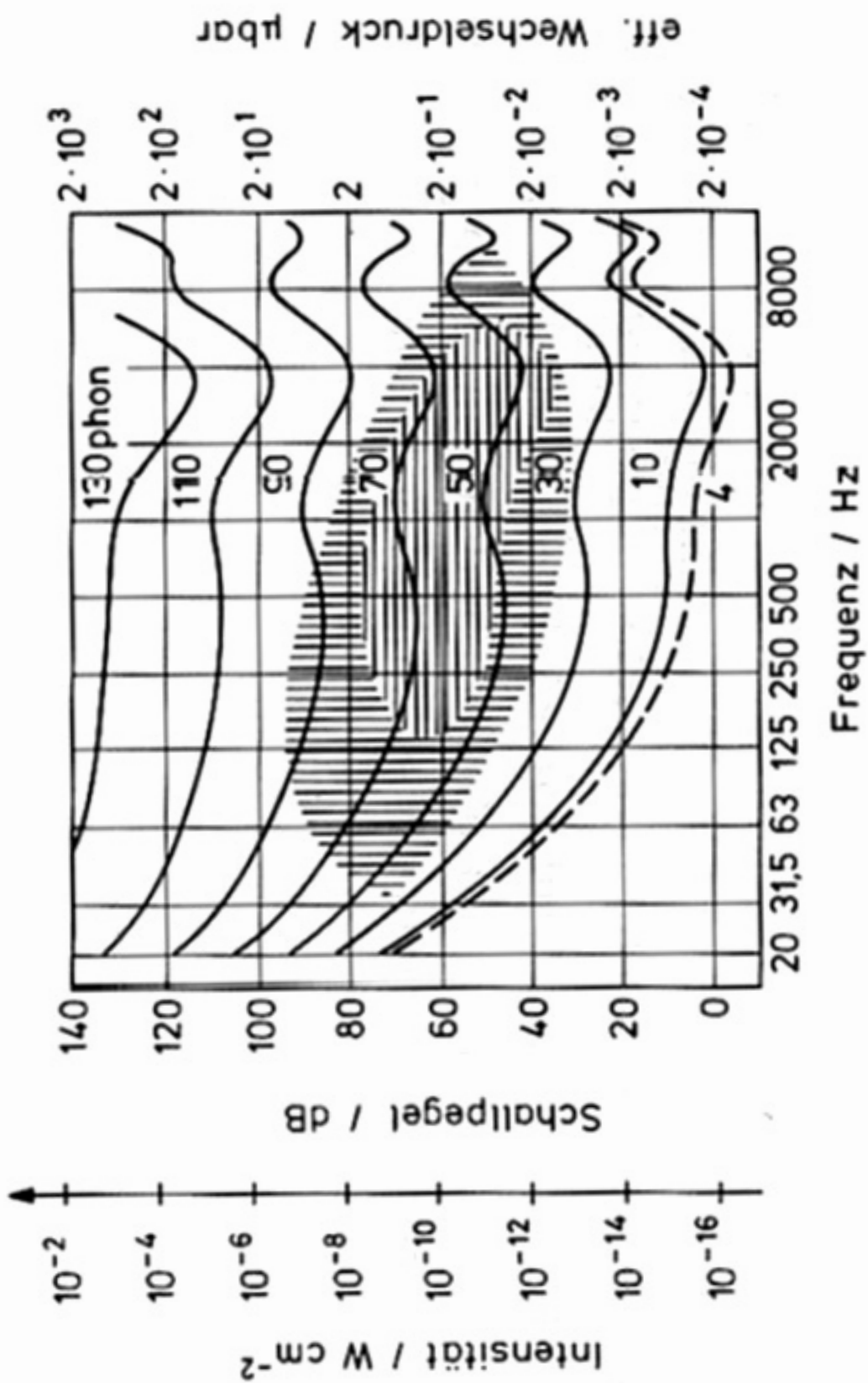


Fig. 13.31 Der Hörbereich des menschlichen Gehörs

≡ Bereich der Sprache

|||| Bereich der Musik

Die unterste Kurve stellt die Hörschwelle dar

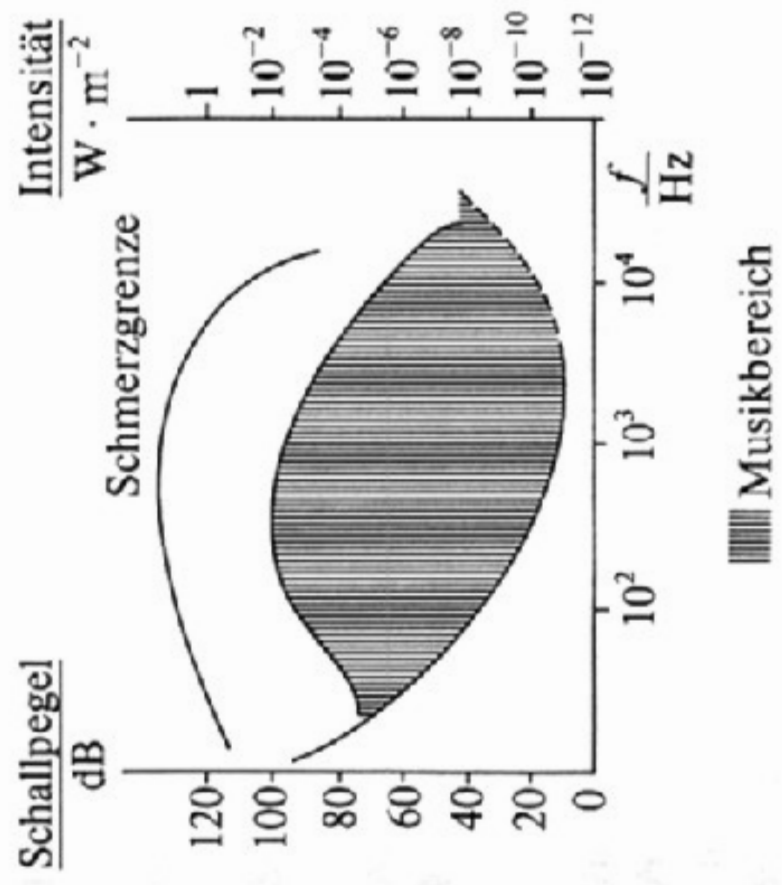
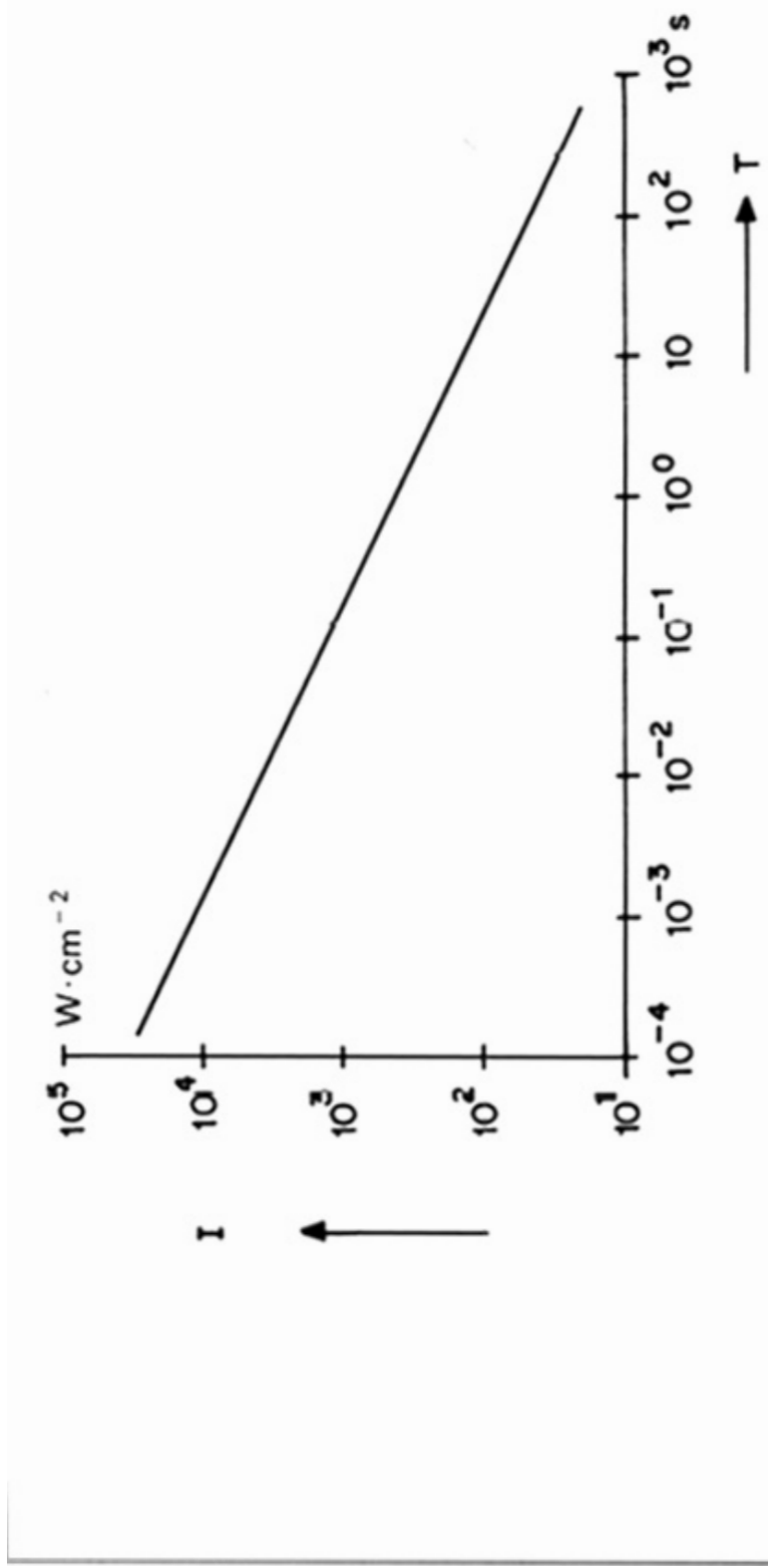
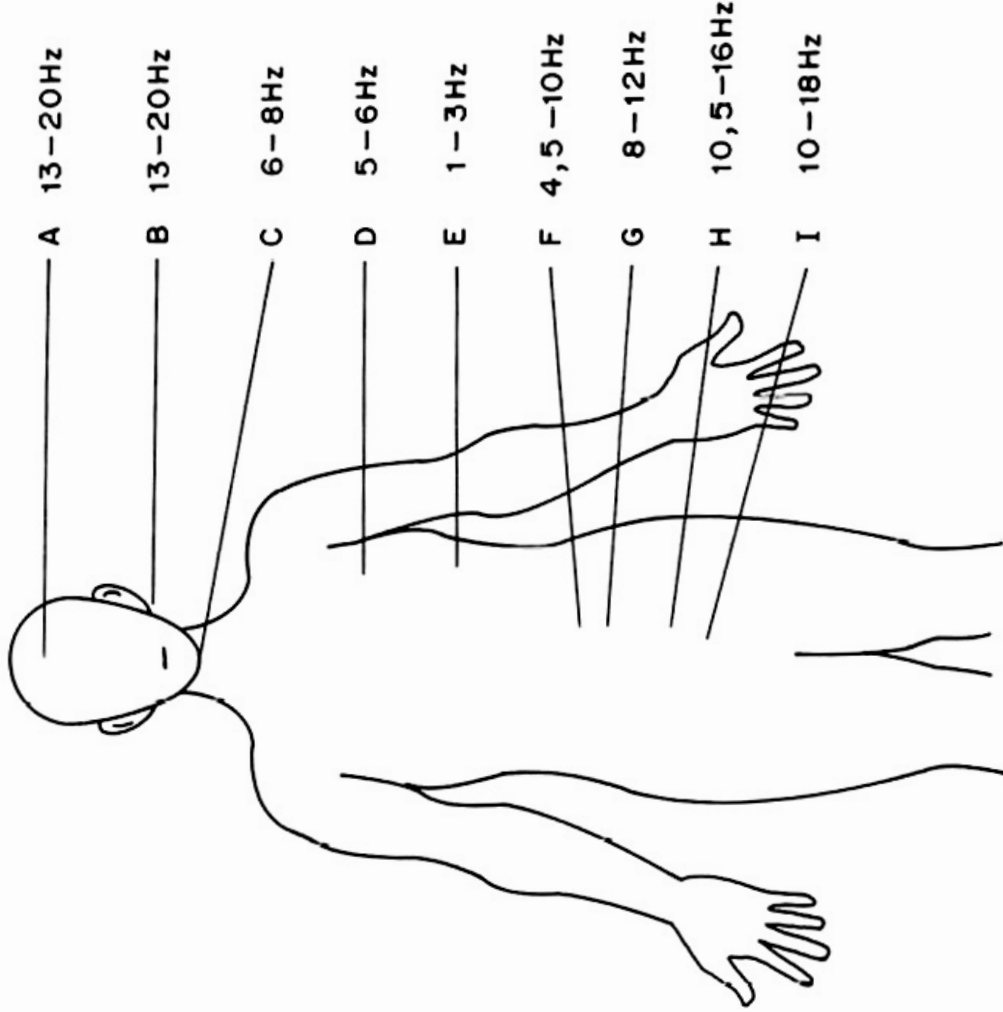


Abb. 7.23. Untere Schwelle der Hörschwinglichkeitsempfindlichkeit des menschlichen Ohres in Abhängigkeit von der Frequenz, ermittelt mit einem Audiometer. Die Schmerzgrenze ist ebenfalls angegeben.



**Abb. 4.29.** Ungefährer Verlauf der Intensitätsschwelle für histologisch nachweisbare Schädigungen von Säugergewebe mit normalem Stoffwechsel in Abhängigkeit von der Beschallungsdauer  $T$  (nach A. R. Williams, 1983)



**Abb. 4.5.** Durch Schwingungen im angegebenen Frequenzbereich hervorgerufene Beschwerden: A Kopfschmerzen, B Sprechschwierigkeiten, C Kieferschmerzen, D Brustschmerzen, E Atembeschwerden, F Bauchschmerzen, G Kreuzschmerzen, H Defäkationsdrang, I Miktionsdrang; nach J. R. Cameron and J. G. Skofronic, 1978

Der **Schallpegel** bezieht sich auf die **physikalischen Eigenschaften** von Schallwellen, das **Schallempfinden** des menschlichen Gehörs hängt aber noch von seiner spektralen Empfindlichkeit ab.

Dies beschreibt die physiologische Größe Lautstärke  $L$ , die in **Phon** (Abk. phon) gemessen wird.

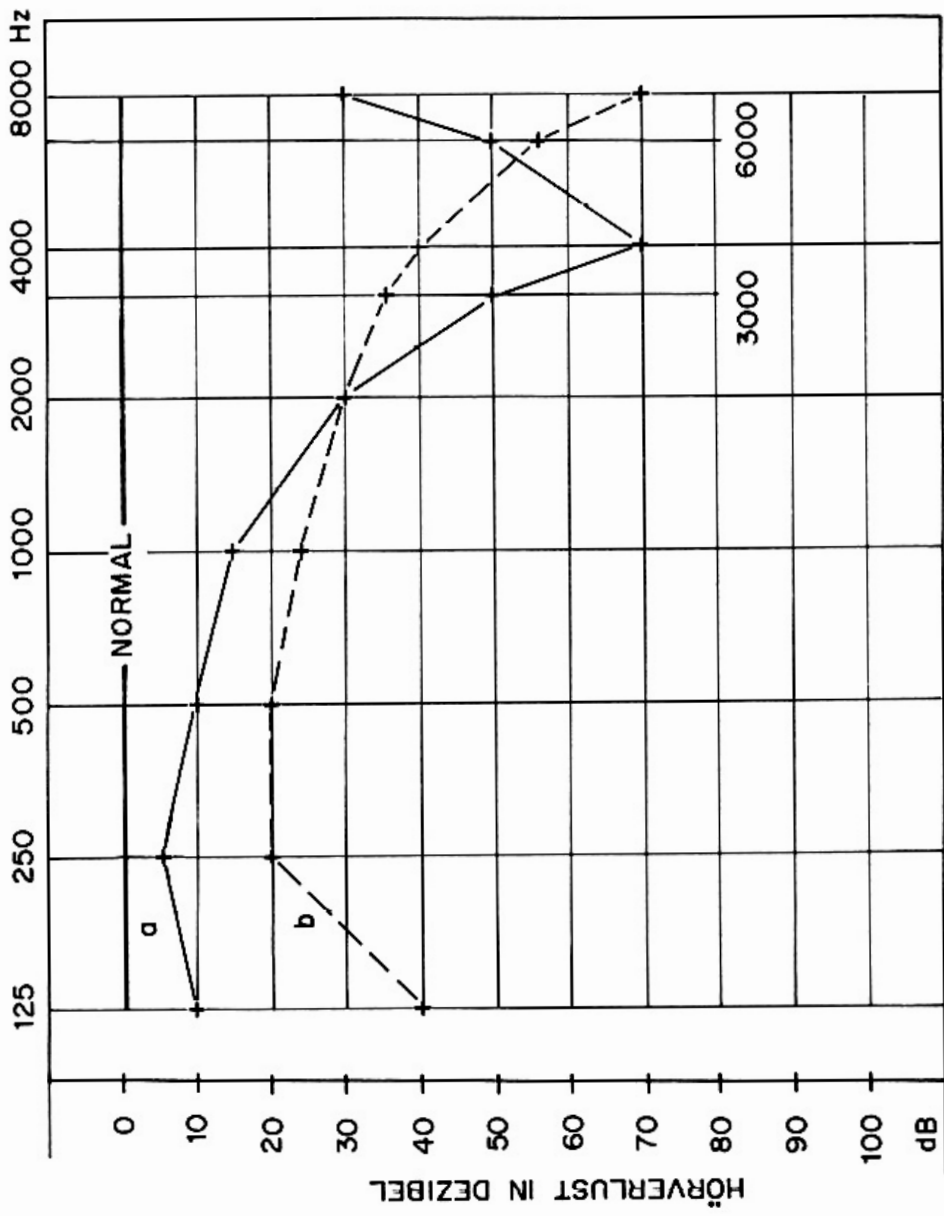
Töne (auch unterschiedlicher Frequenz), die **gleich laut empfunden werden**, haben **dieselbe Lautstärke  $L$** . Bei 1000 Hz sollen der Schallpegel  $L_S$  in dB und die Lautstärke  $L$  in phon übereinstimmen.

Danach hat ein **Ton einer beliebigen Frequenz von  $x$  phon dieselbe Lautstärke wie der Ton des Schallpegels  $x$  dB bei 1000 Hz.**

### **Ultraschall:**

Verwendung in Medizin für Diagnose, Therapie und Chirurgie.

Um Reflexionen am Körper zu vermeiden, muß Gel aufgebracht werden.



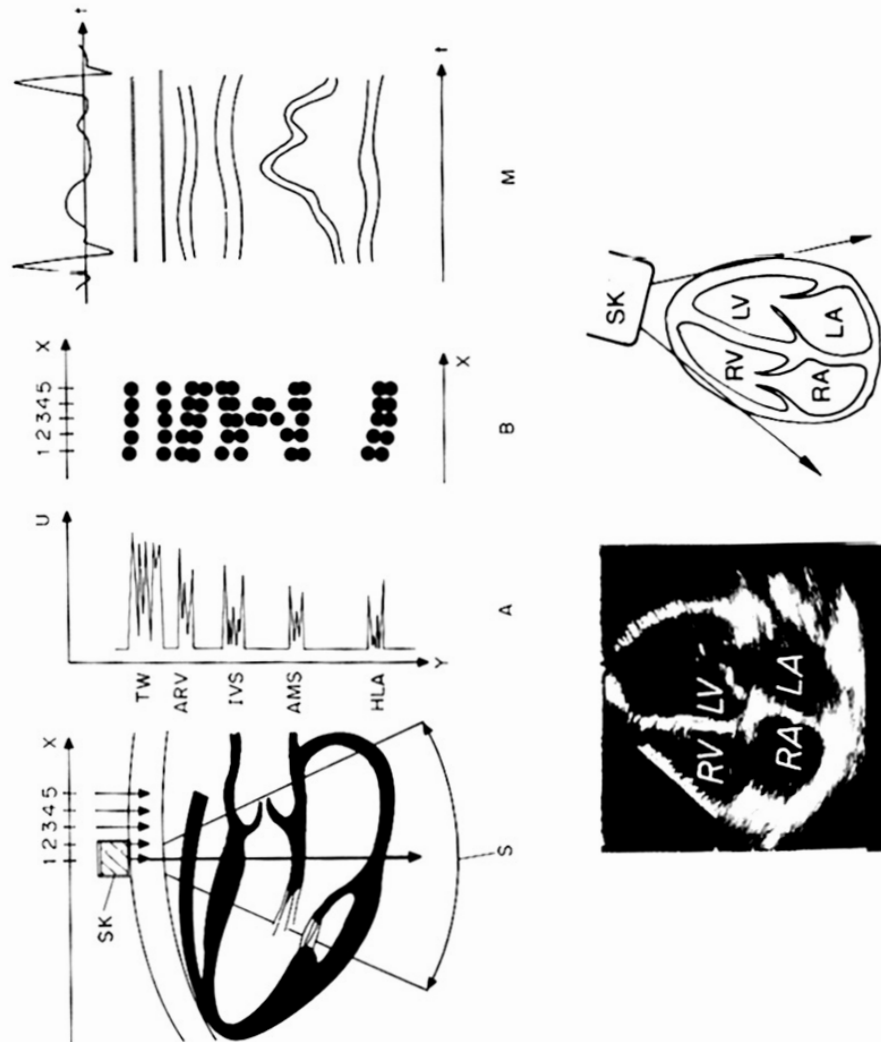
**Abb. 4.13.** Audiogramme. Üblicherweise wird, wie hier angedeutet, der Hörverlust in Dezibel auf der Abszisse nach unten aufgetragen. Bei Lärmschwerhörigkeit tritt eine typische Absenkung der Hörschwelle im Bereich zwischen 3 und 6 kHz auf (Graph a). Graph b ist typisch für Altersschwerhörigkeit

**Ultraschall-Sender** (piezoelektrisch oder magnetostriktiv)

erzeugt **Pulse**, die an **“Inhomogenitäten” des Gewebes reflektiert werden**.

Echo wird in Empfänger registriert und auf Bildschirm sichtbar gemacht.

**Intensität nicht zu groß** ( $< 3 \cdot 10^4 \text{ W/m}^2$ ), **sonst** aufgrund großer örtlicher Druckschwankungen **Zerreißen von Zellmembranen** möglich.



**Abb. 4.22. a** A-Bild, B-Bild und M-Bild bei der Durchschallung des Herzens. Links sind Struktur und Lage des Herzens hinter der Thoraxwand TW dargestellt. SK ist der Schallkopf, er emittiert kurze Schallimpulse, deren Echos in Spannungsimpulse umgewandelt werden. Das A-Bild entsteht, wenn man diese Spannungsimpulse am Bildschirm eines Oszilloskops darstellt. ARV = Vorderwand des rechten Ventrikels, IVS = interventrikuläres Septum, AMS = anteriores Mitralsegel, HLA = Hinterwand des linken Vorhofs). Das B-Bild entsteht durch Verschieben des Schallkopfs in x-Richtung und Registrierung der positionsabhängigen Schallechos in einem Bild unter Berücksichtigung der x-Koordinate. Eine Variante des B-Bilds ist das Sekorscan-Verfahren, bei dem das Schallbündel durch Schwenken des Schallkopfs (im Innern des Schallkopfgehäuses, s. Abb. 23.6) ein fächerförmiges Gebiet (S) überstreicht. Das M-Bild entsteht durch Aufzeichnung des zeitlichen Verlaufs der Echoorte bei fester x-Position. **b** Beispiel einer Vierkammer-Sektoraufnahme des Herzens. Apikal; der Schallkopf (= gleichzeitig Empfänger) befindet sich nahe der Herzhörte. SK = Schallkopf, RV = rechter Ventrikel, LV = linker Ventrikel, RA = rechter Vorhof, LA = linker Vorhof. Foto: Kretztechnik